

Complexité CM8

Antonio E. Porreca
aeporreca.org/complexite

**Précédemment
dans Complexité...**

⚠ Définition 3-A (p. 64) ⚠

Réductions (many-one) polynomiales

- Une **réduction (many-one) en temps polynomial** d'un problème L_1 (sur l'alphabet Σ_1) à un problème L_2 (sur l'alphabet Σ_2) est une fonction $f: \Sigma_1^* \rightarrow \Sigma_2^*$ calculable en temps polynomial telle que

$$\forall x \in \Sigma_1^* \quad x \in L_1 \iff f(x) \in L_2$$

- Si une telle f existe, on dit que **L_1 se réduit à L_2** (via f) et on notera **$L_1 \leq_m^P L_2$** (ou parfois, en bref, **$L_1 \leq L_2$**)

! Definition 3-J (p. 67) !

Difficulté et complétude

Soit L un problème et \mathcal{C} une classe de complexité

- On dit que L est \mathcal{C} -difficile (ou \mathcal{C} -dur) si pour tout problème $L' \in \mathcal{C}$ on a $L' \leq L$
- On dit que L est \mathcal{C} -complet s'il est \mathcal{C} -difficile et en plus on a $L \in \mathcal{C}$

Proposition 3-M (p. 68)

La prédiction est **NP**-complète

Le problème suivant est **NP**-complet :

$$A = \{(\langle N \rangle, x, 1^t) : N(x) \text{ accepte en temps } \leq t\}$$

code d'une MT
non déterministe

mot d'entrée
pour la MT N

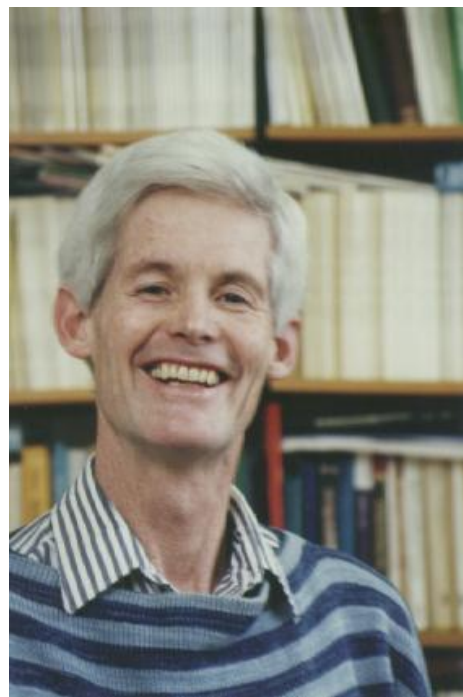
entier $t \in \mathbb{N}$
en unaire

**Et maintenant,
la suite**

Le théorème de
Cook-Levin, ou :
Enfin, un problème
NP-complet
intéressant ! 🎉

⚠ Théorème 3-V (p. 72) ⚠

Cook 1971, Levin 1973



Stephen Cook



Леонід Лєвин

SAT est NP-complet

! Théorème 3-V (p. 72) !

Cook 1971, Levin 1973

Le **fonctionnement** en temps polynomial d'une machine non déterministe N sur une entrée x **est décrit par une formule φ** calculable en temps polynomial telle que le nombre d'assignations satisfaisant φ est égal au nombre de chemins acceptants de $N(x)$.

Idée de la démonstration

- $\text{SAT} \in \mathbf{NP}$ car il suffit de deviner une assignation des variables et vérifier en temps polynomial qu'elle satisfait la formule
- La complétude vient du fait qu'on peut décrire par une formule de taille polynomiale le diagramme espace-temps d'une exécution d'une machine non déterministe polynomiale car celui-ci répond à des règles locales

Idée de la démonstration

- En d'autres termes, on décrit par une formule $\varphi(y)$ le fonctionnement de la machine le long du chemin (découlant du choix des transitions) décrit par y
- Pour savoir s'il existe un chemin acceptant dans le calcul de la machine, il suffit alors de savoir s'il existe une affectation des variables y de la formule pour laquelle l'état final du diagramme décrit est acceptant, ce qui est un problème de type SAT

Démonstration : $\text{SAT} \in \text{NP}$ 🤪

- Algo non déterministe pour SAT sur l'entrée $\varphi(x_1, \dots, x_n)$:
 - deviner $(a_1, \dots, a_n) \in \{0,1\}^n$
 - accepter ssi $\varphi(a_1, \dots, a_n) = 1$
- En alternative, un vérificateur déterministe sur l'entrée $(\varphi(x_1, \dots, x_n), a_1, \dots, a_n)$:
 - accepter ssi $\varphi(a_1, \dots, a_n) = 1$

Démonstration :

$B \leq \text{SAT}$ pour tout $B \in \text{NP}$ 😎

- Soit $B \in \text{NP}$
- À toute instance x de B on associe une formule $\varphi_x \dots$
- ...telle que φ_x est satisfaisable ssi $x \in B$
- Les **variables** de φ_x désigneront en quelque sorte **le chemin de calcul à suivre**

Démonstration :

$B \leq \text{SAT}$ pour tout $B \in \text{NP}$ 😎

- Soit N une machine non déterministe qui reconnaît B
 - en temps polynomiale $p(n)$
 - avec k rubans, ensemble d'états Q , alphabet de travail Γ
- nous allons « simuler » le fonctionnement de N le long d'un chemin arbitraire par φ_x
- Pour cela, nous allons considérer le diagramme espace-temps de $N(x)$

Diagramme **espace-temps** de la MT N sur l'entrée $x = x_1 \cdots x_n$

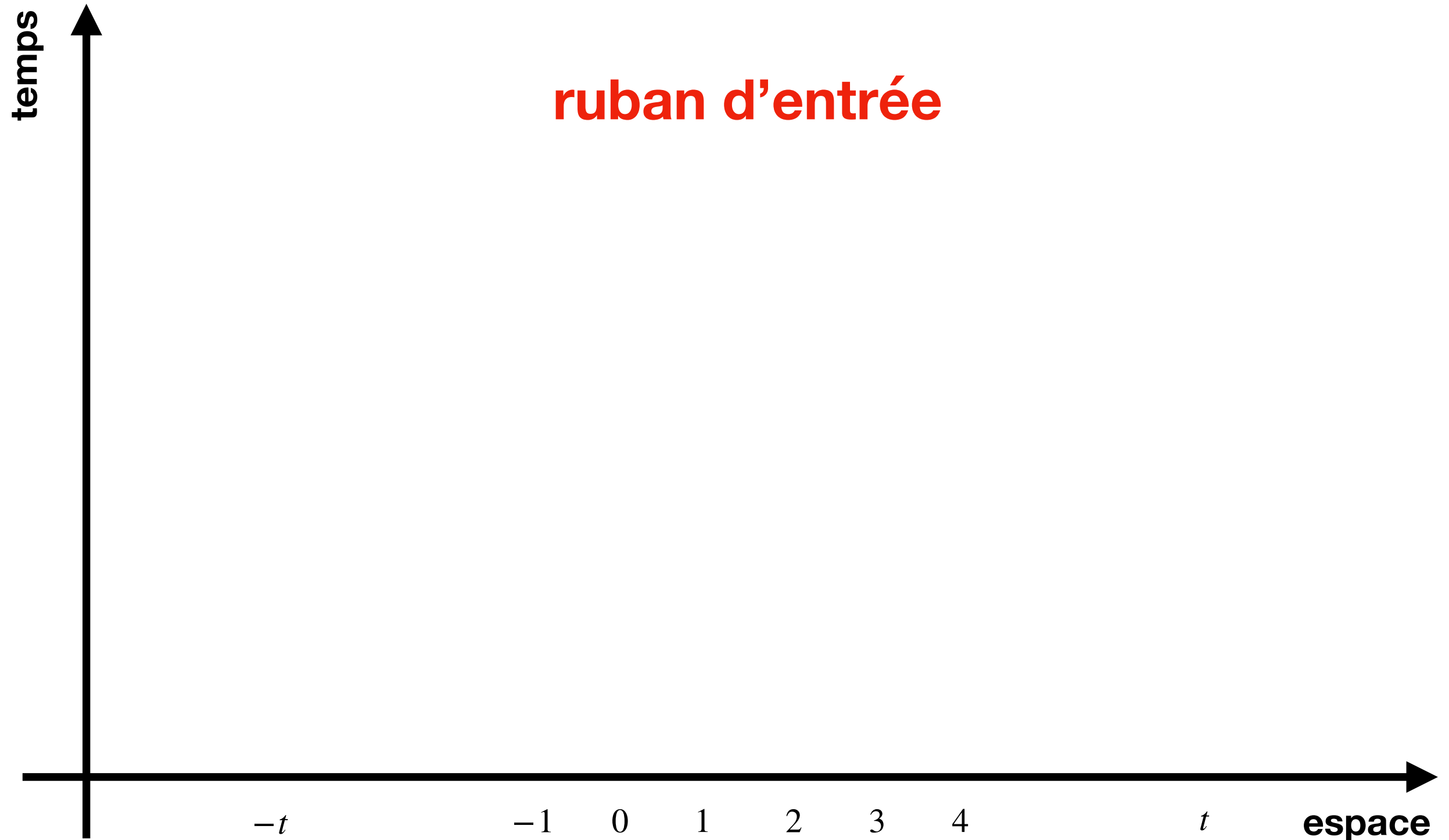
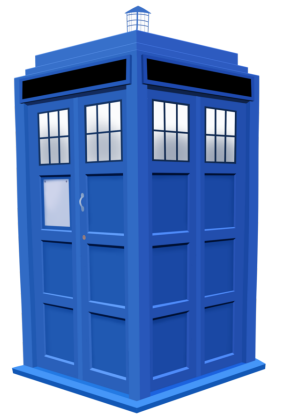


Diagramme **espace-temps** de la MT N sur l'entrée $x = x_1 \cdots x_n$

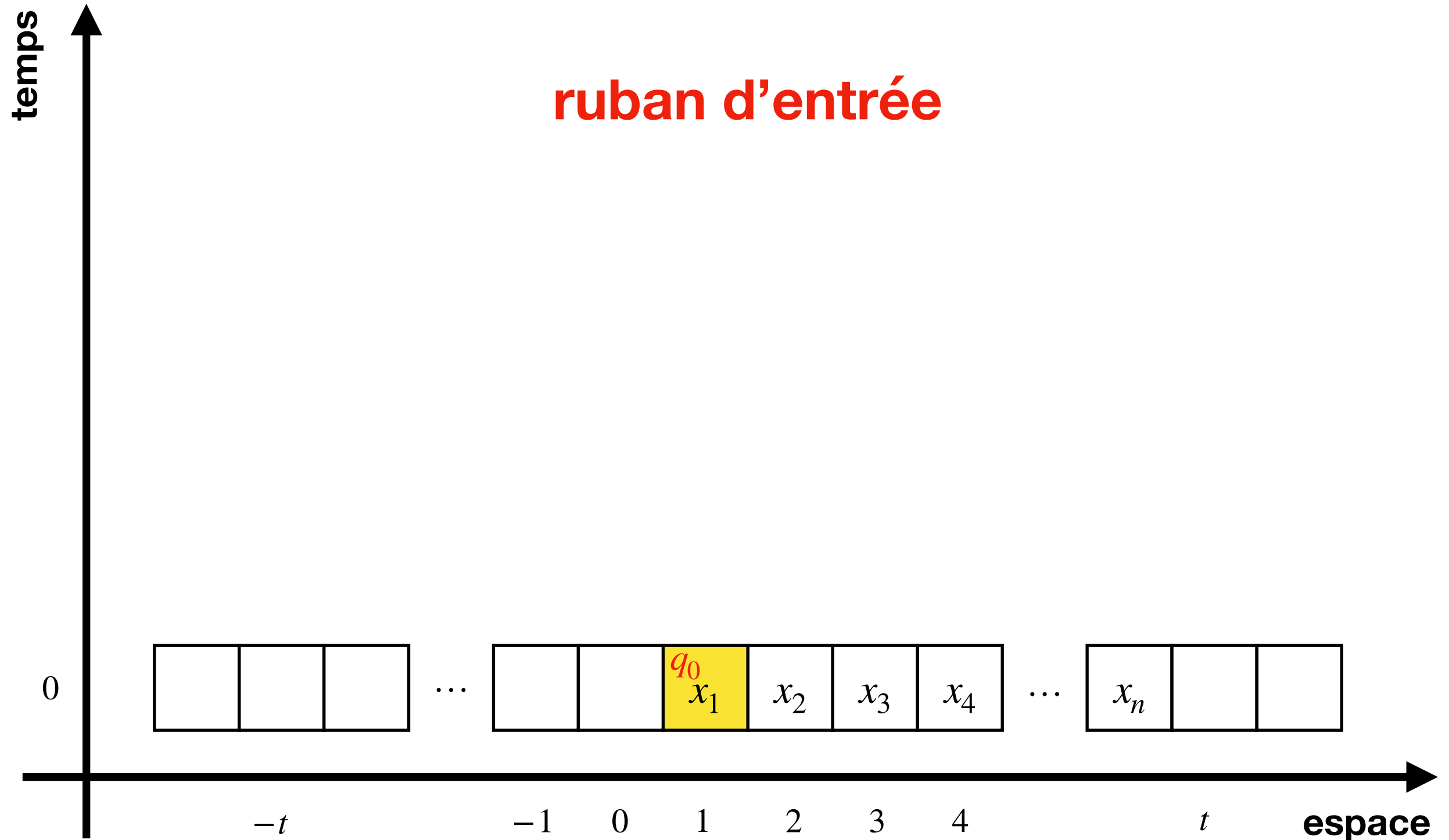
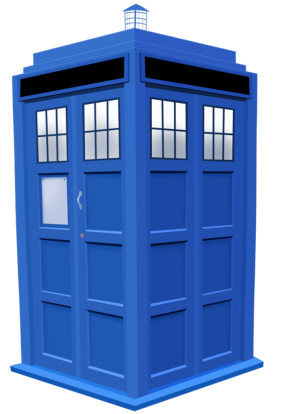
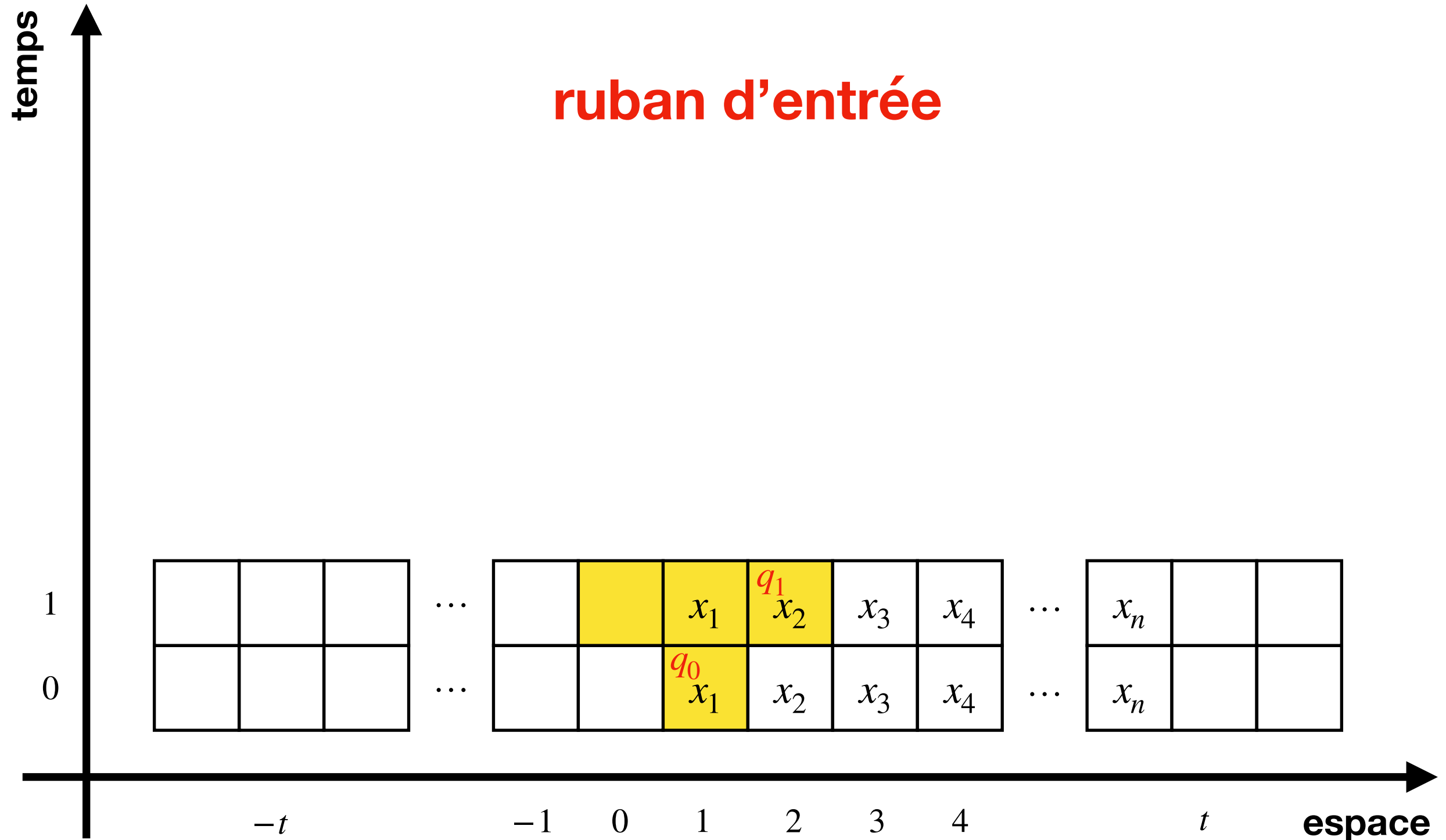
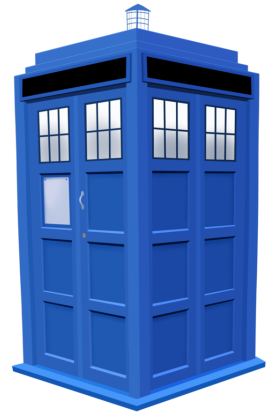


Diagramme **espace-temps** de la MT N sur l'entrée $x = x_1 \cdots x_n$



A blue TARDIS console, a common sight in the Doctor Who universe, is shown. It has a small white dome on top and a black band across the middle. The front features a door with a silver handle and a small window, and two large windows with multiple panes.

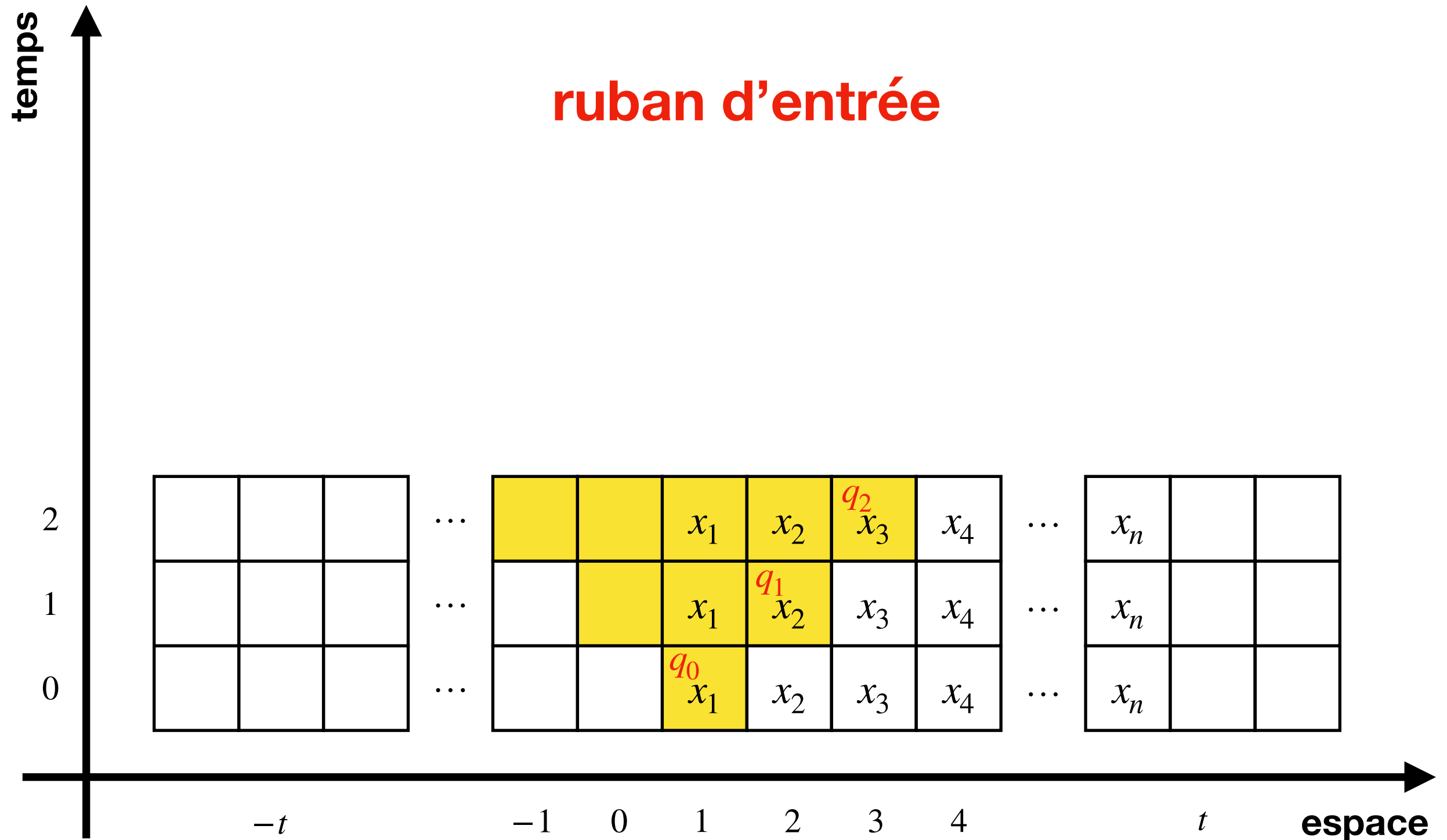


Diagramme **espace-temps** de la MT N sur l'entrée $x = x_1 \cdots x_n$

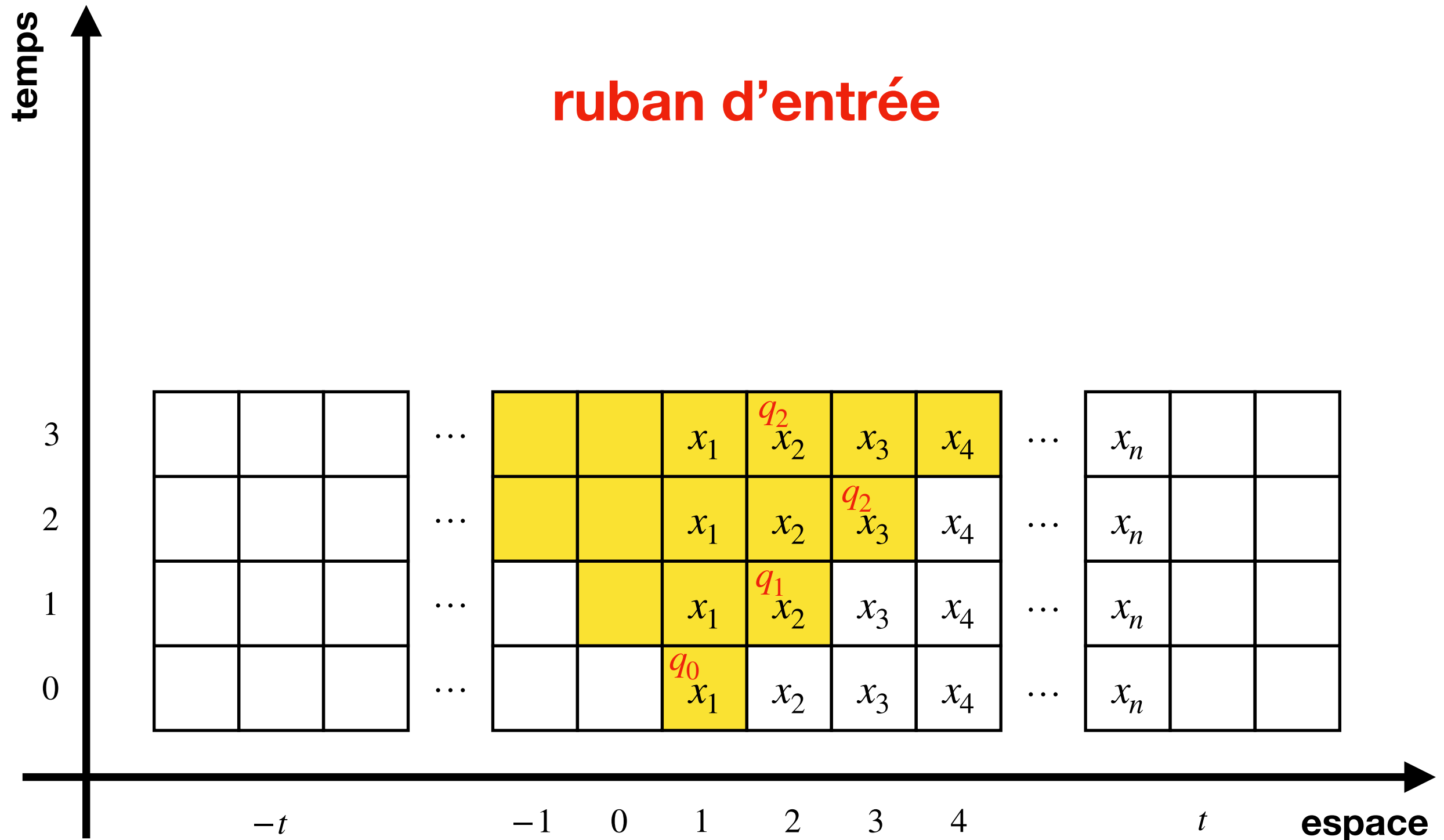
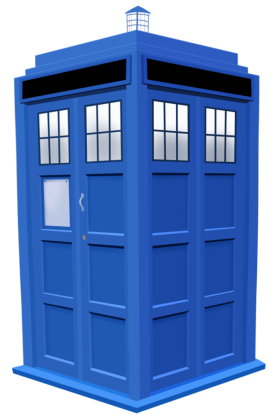


Diagramme **espace-temps** de la MT N sur l'entrée $x = x_1 \cdots x_n$

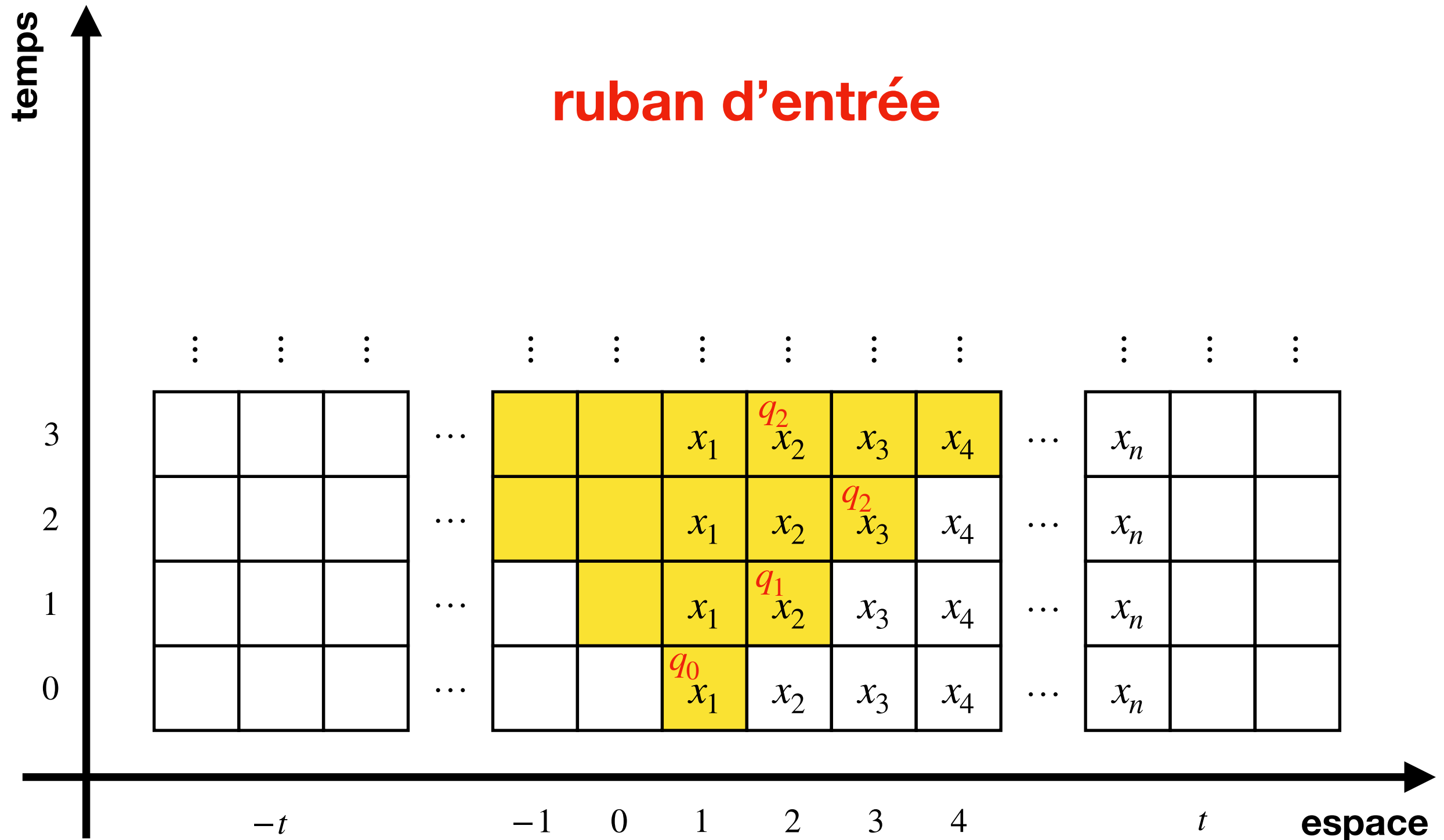
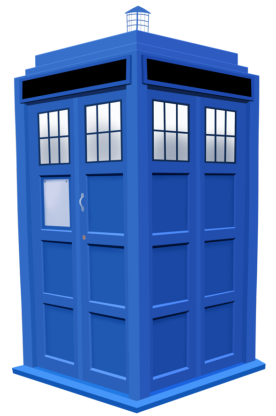


Diagramme **espace-temps** de la MT N sur l'entrée $x = x_1 \cdots x_n$

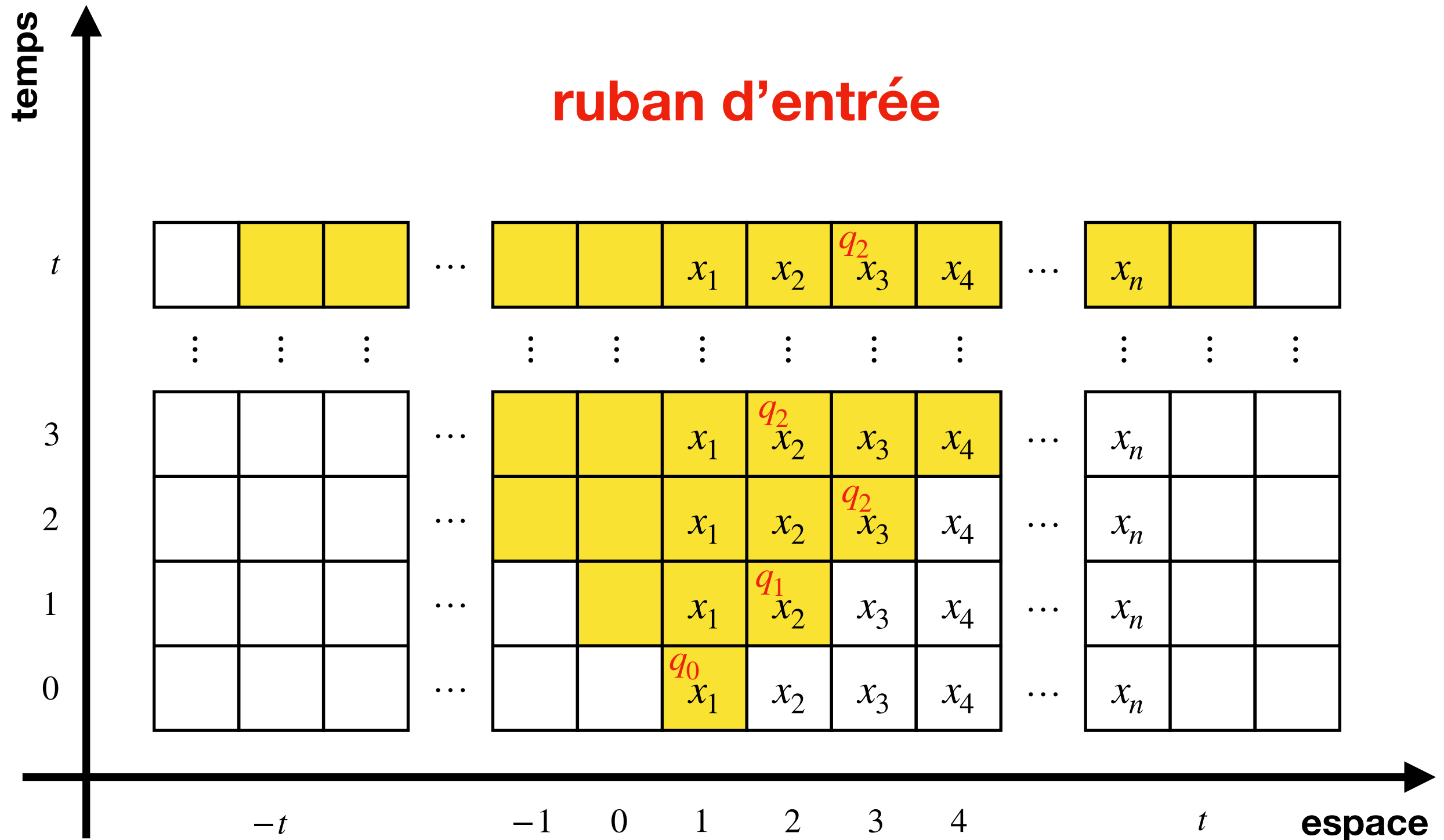
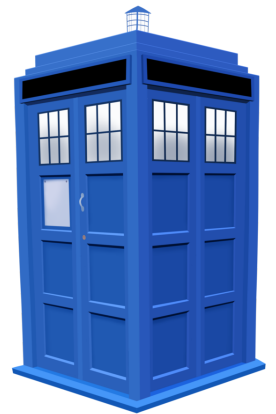


Diagramme **espace-temps** de la MT N sur l'entrée $x = x_1 \cdots x_n$

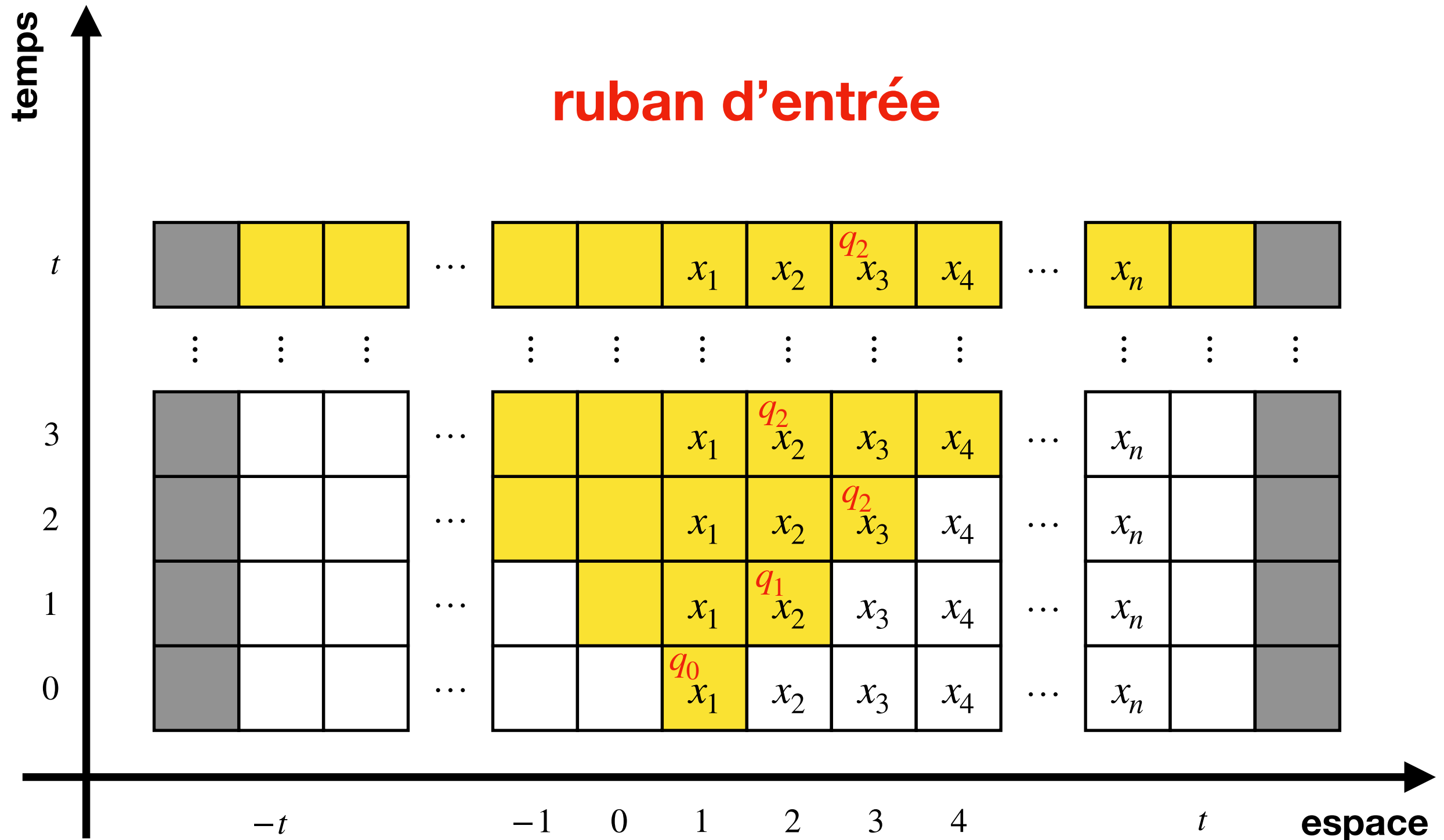
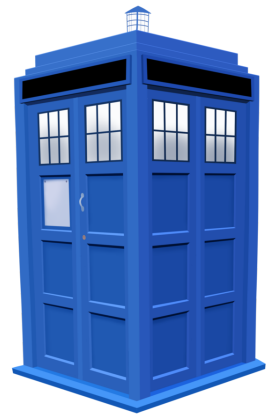


Diagramme **espace-temps** de la MT N sur l'entrée $x = x_1 \cdots x_n$

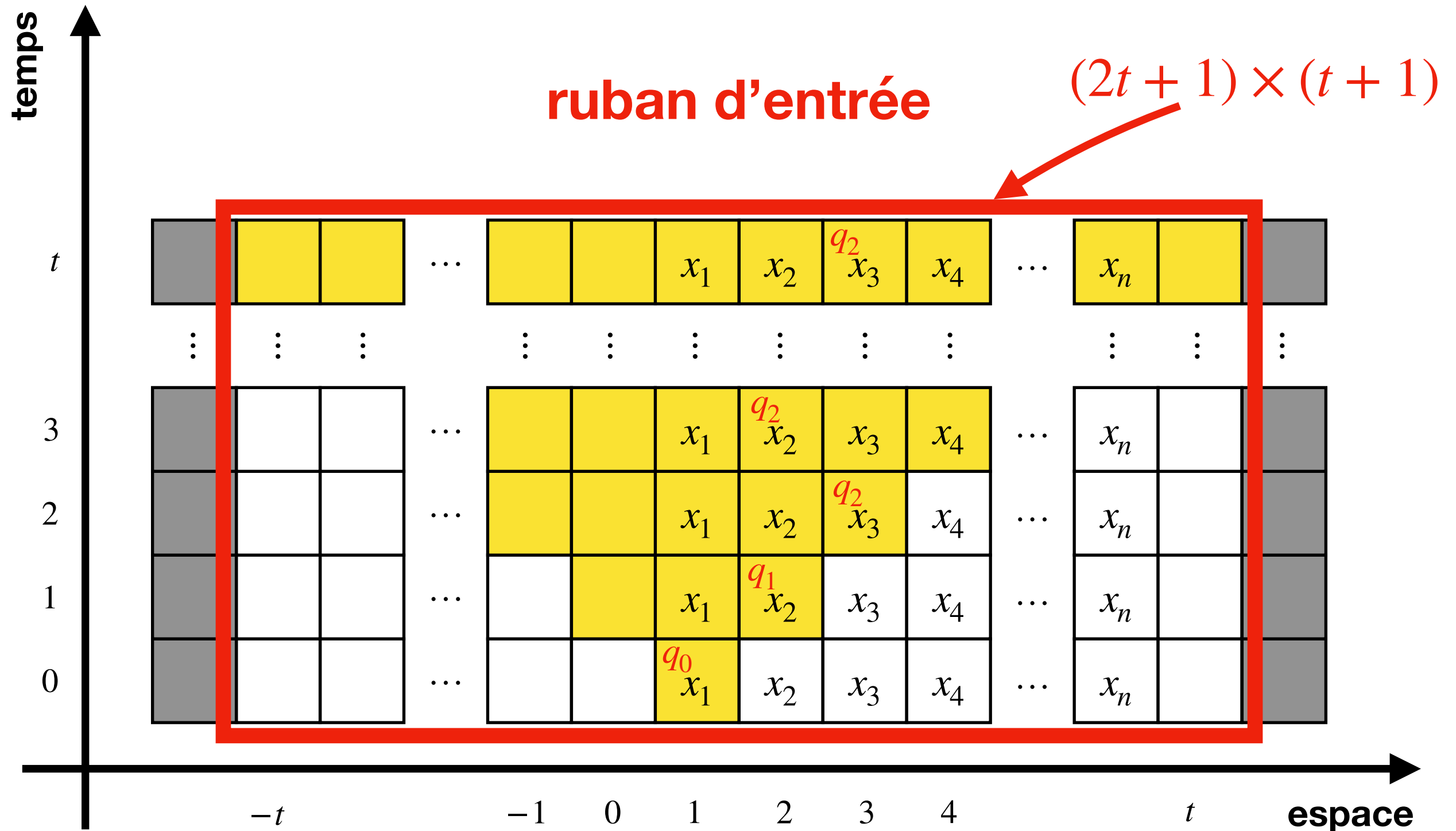
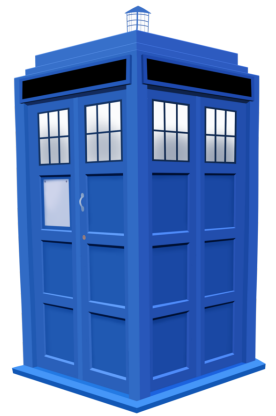


Diagramme **espace-temps** de la MT N sur l'entrée $x = x_1 \cdots x_n$

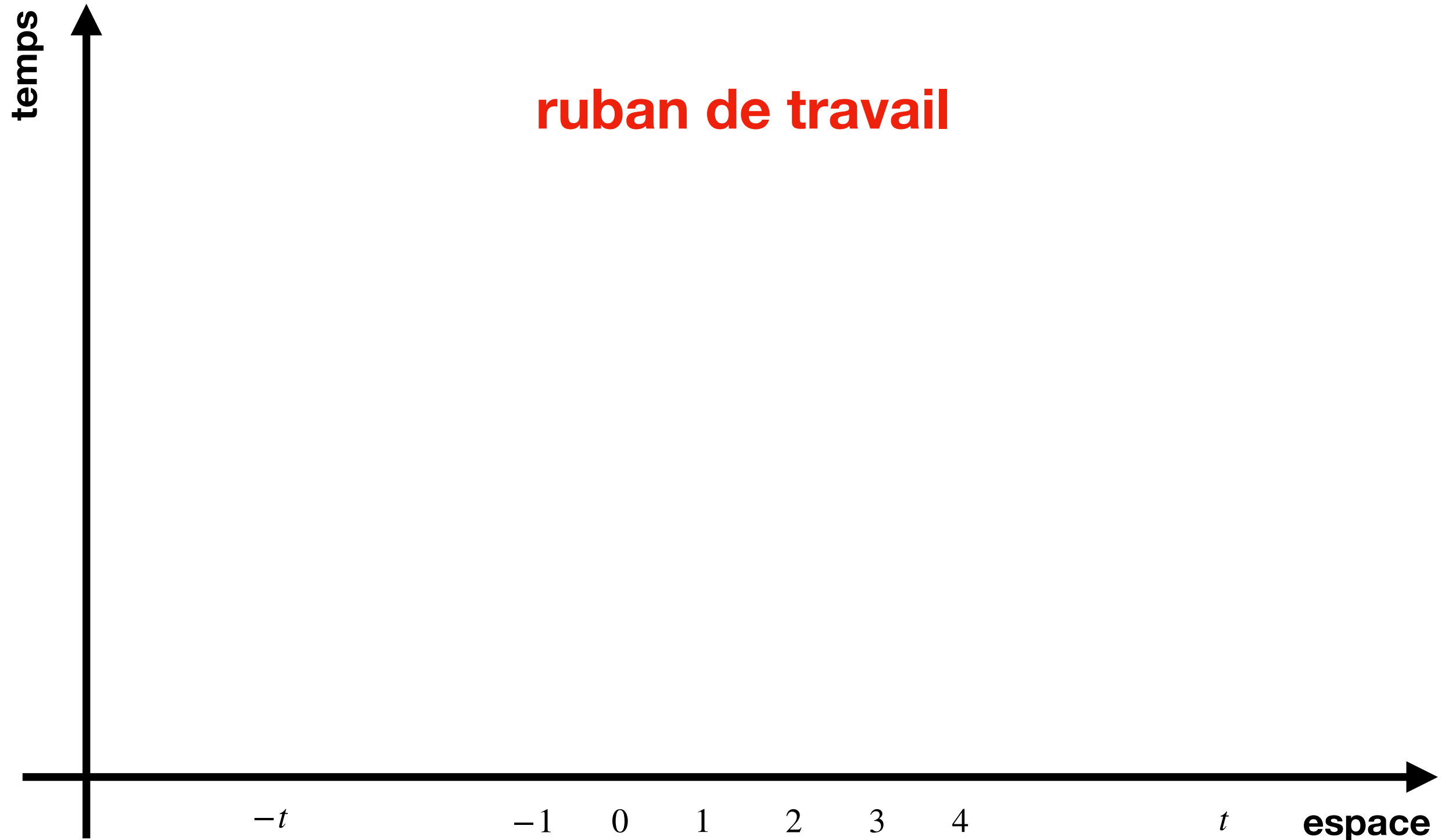
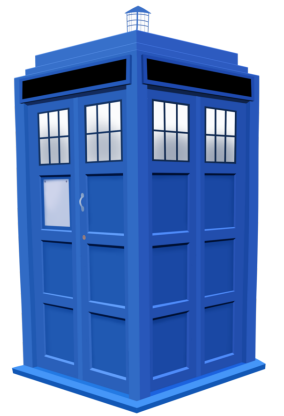


Diagramme **espace-temps** de la MT N sur l'entrée $x = x_1 \cdots x_n$

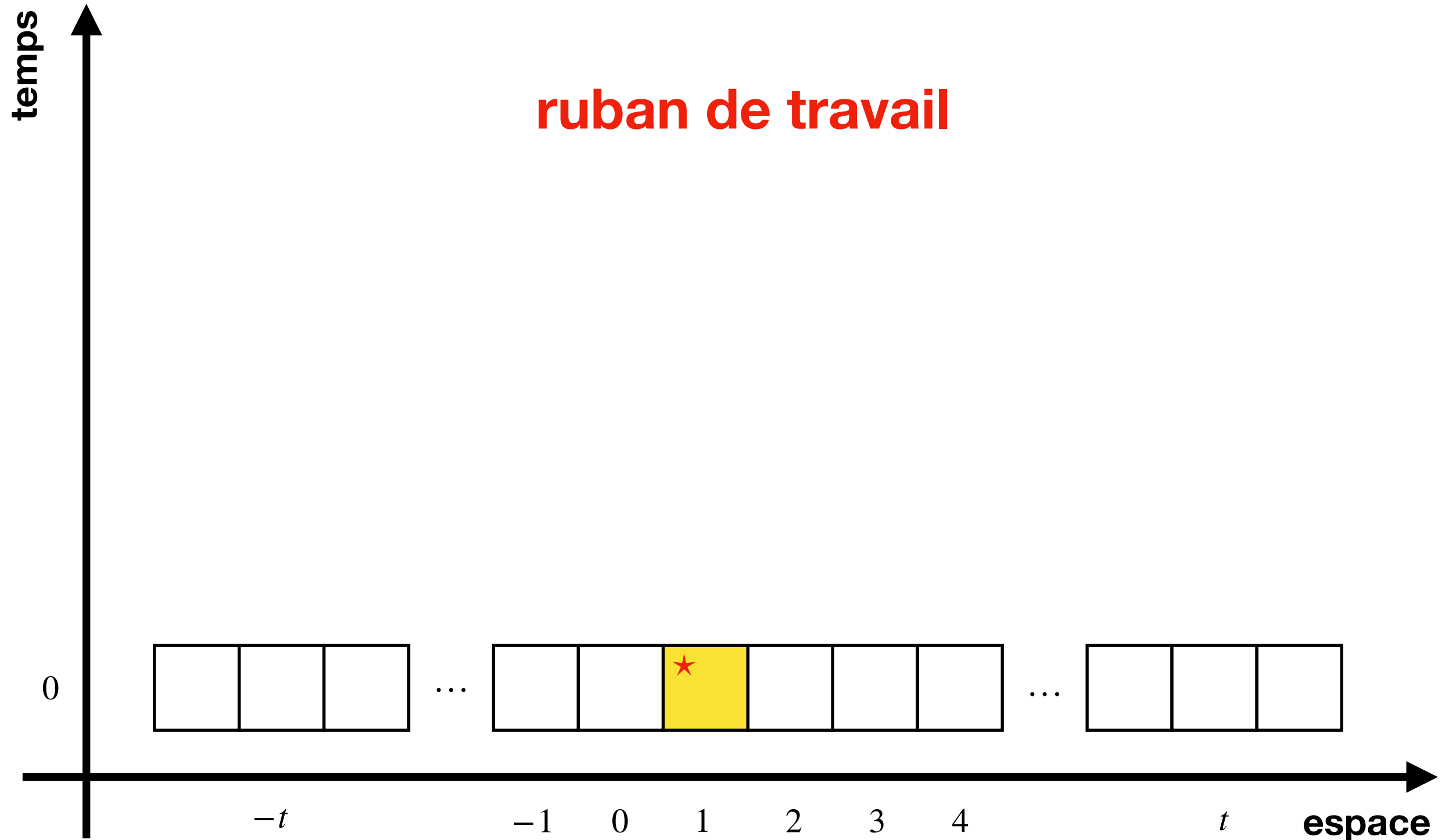
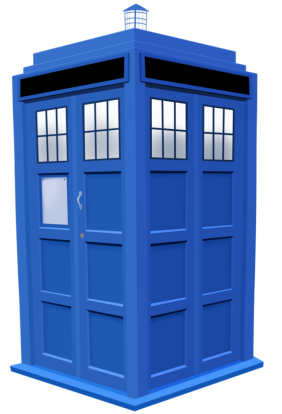


Diagramme **espace-temps** de la MT N sur l'entrée $x = x_1 \cdots x_n$

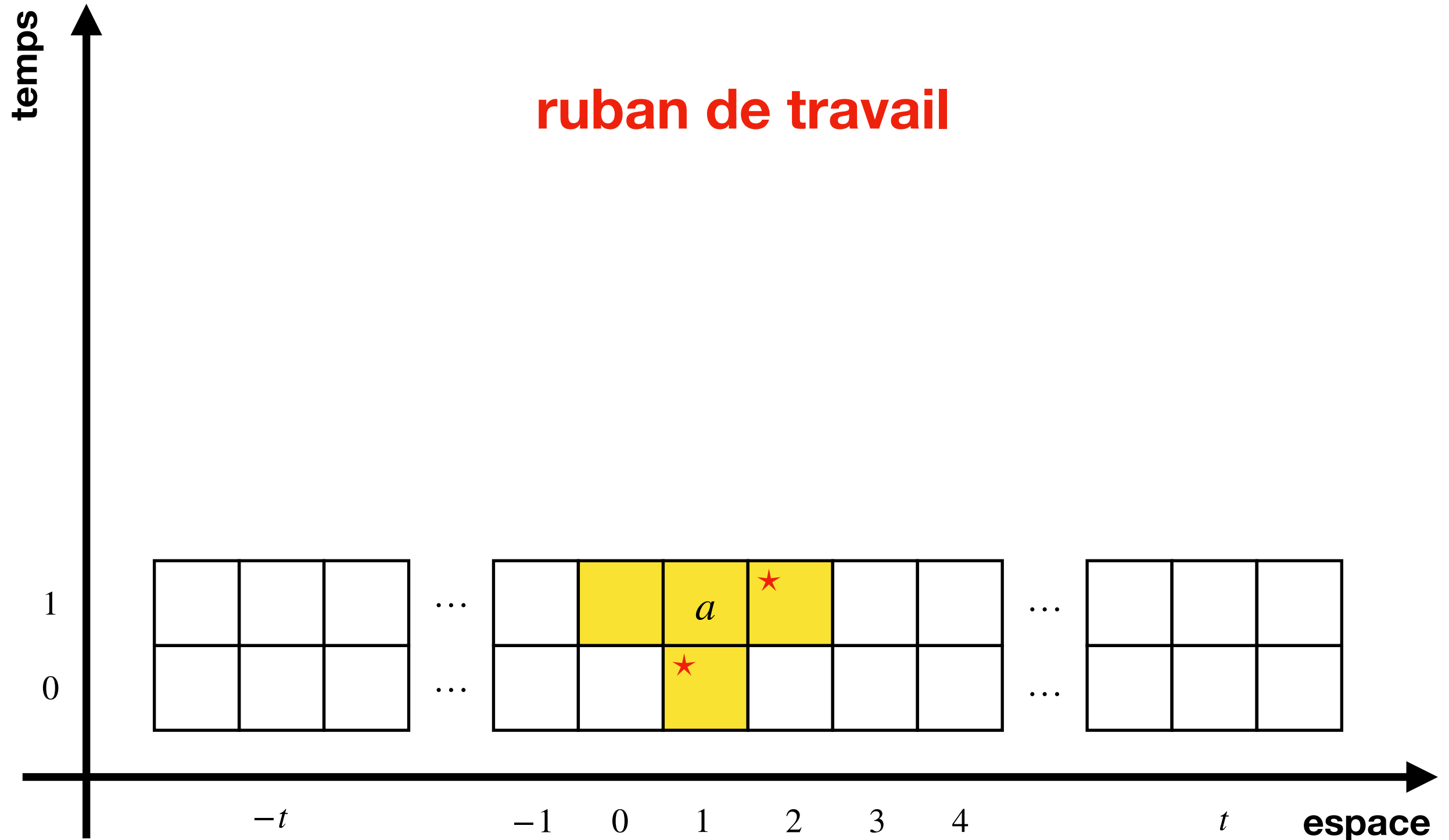
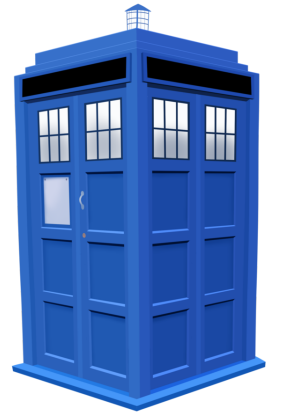


Diagramme **espace-temps** de la MT N sur l'entrée $x = x_1 \cdots x_n$

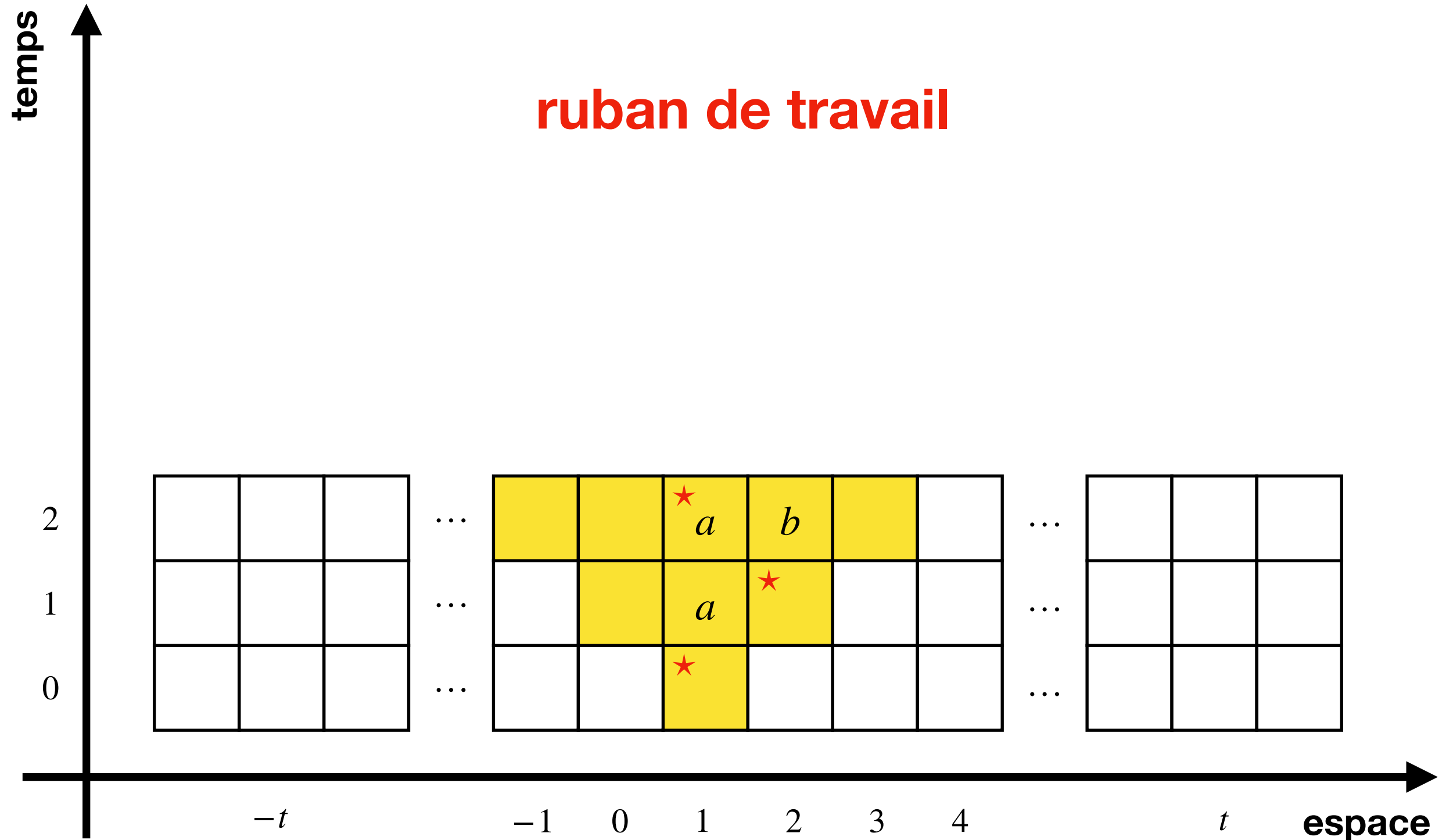
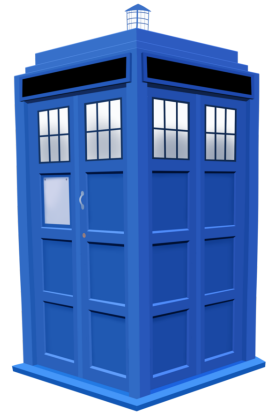


Diagramme **espace-temps** de la MT N sur l'entrée $x = x_1 \cdots x_n$

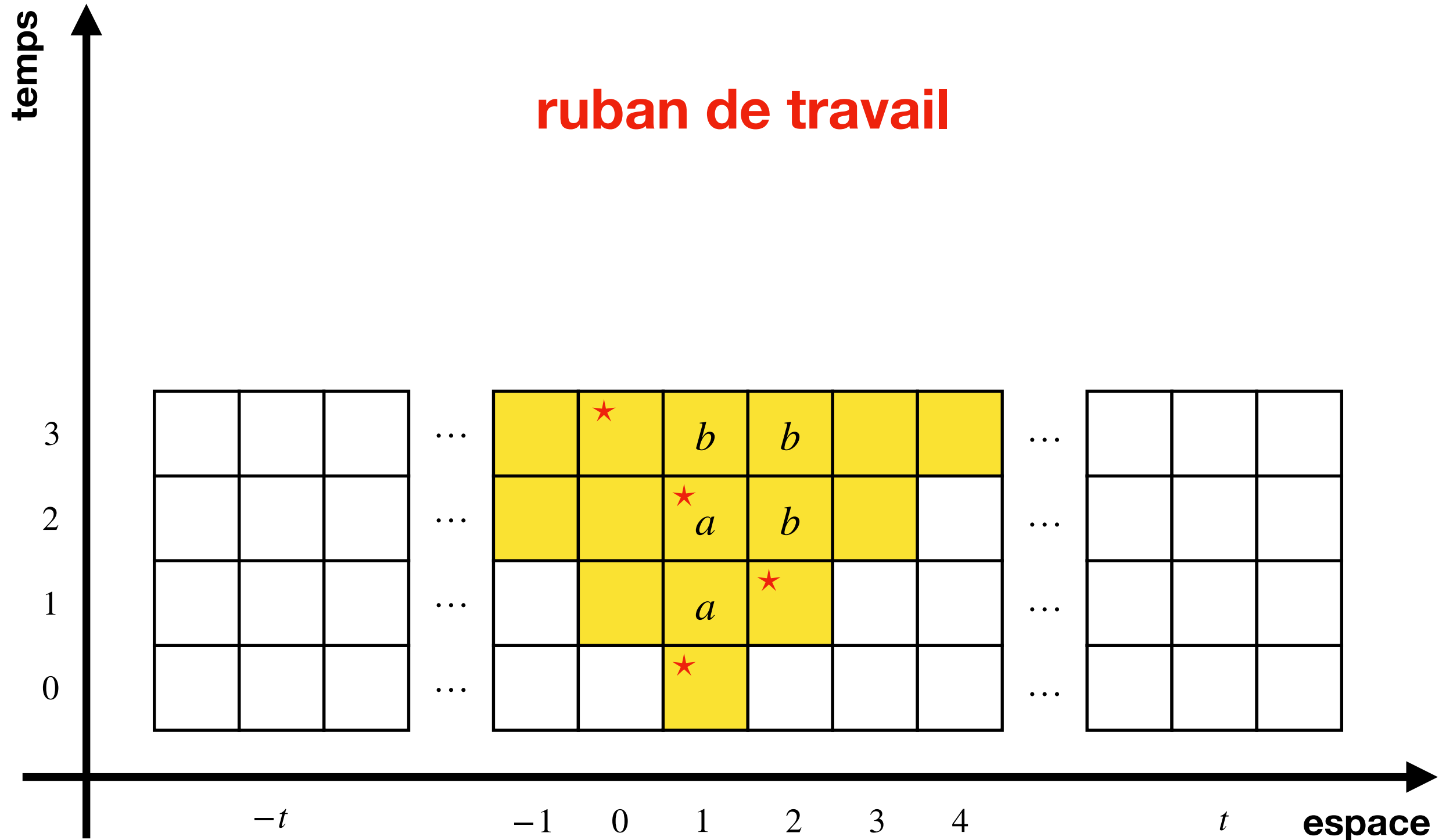
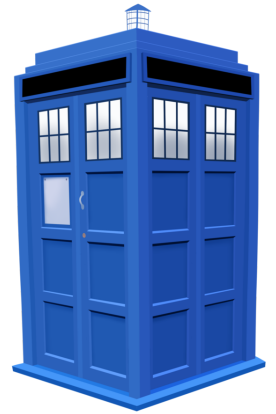


Diagramme **espace-temps** de la MT N sur l'entrée $x = x_1 \cdots x_n$

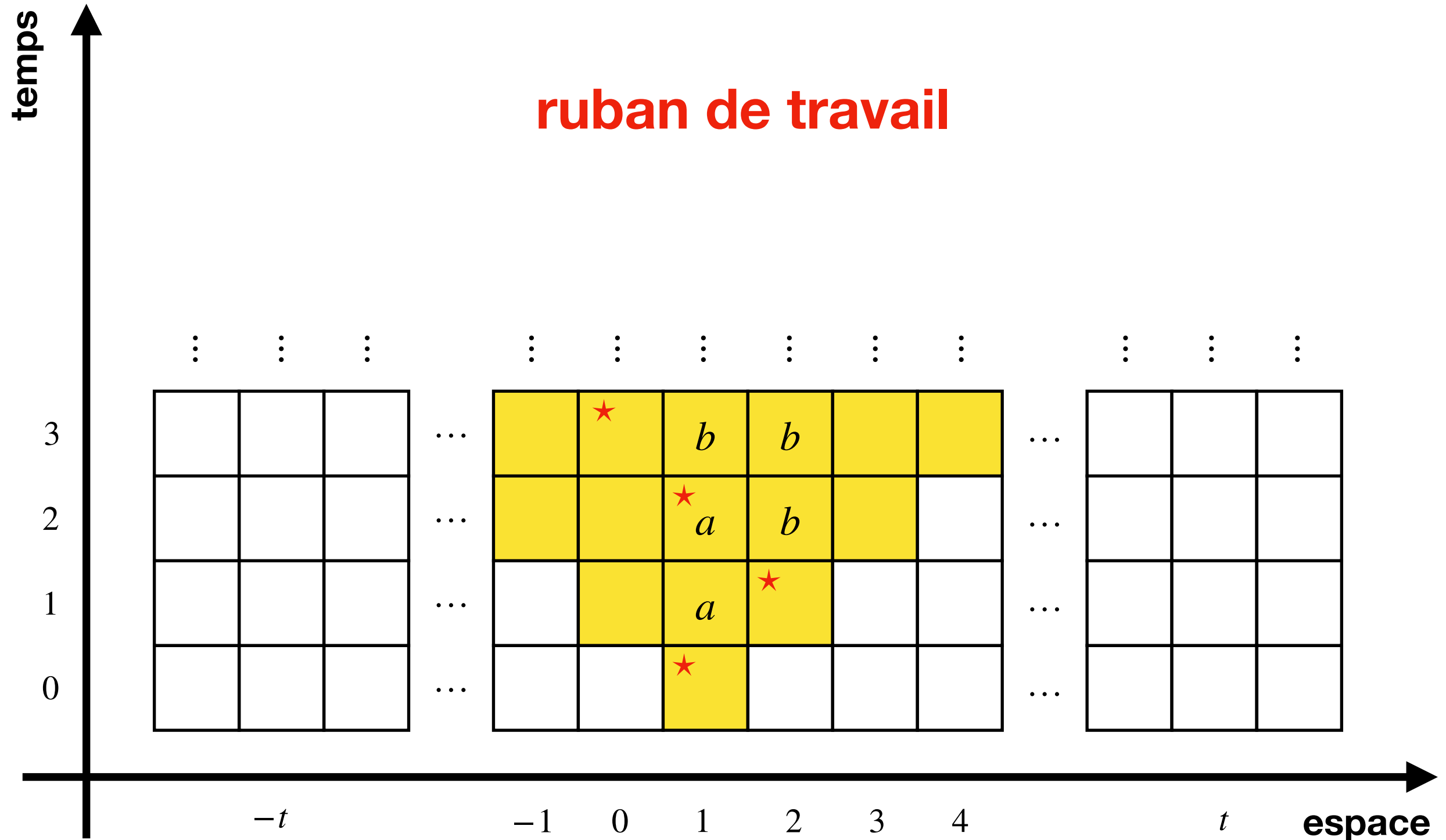
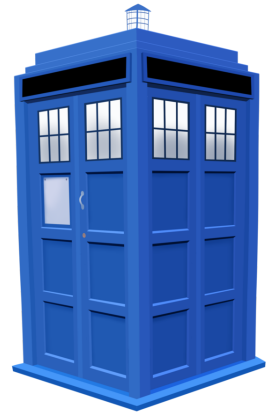


Diagramme **espace-temps** de la MT N sur l'entrée $x = x_1 \cdots x_n$

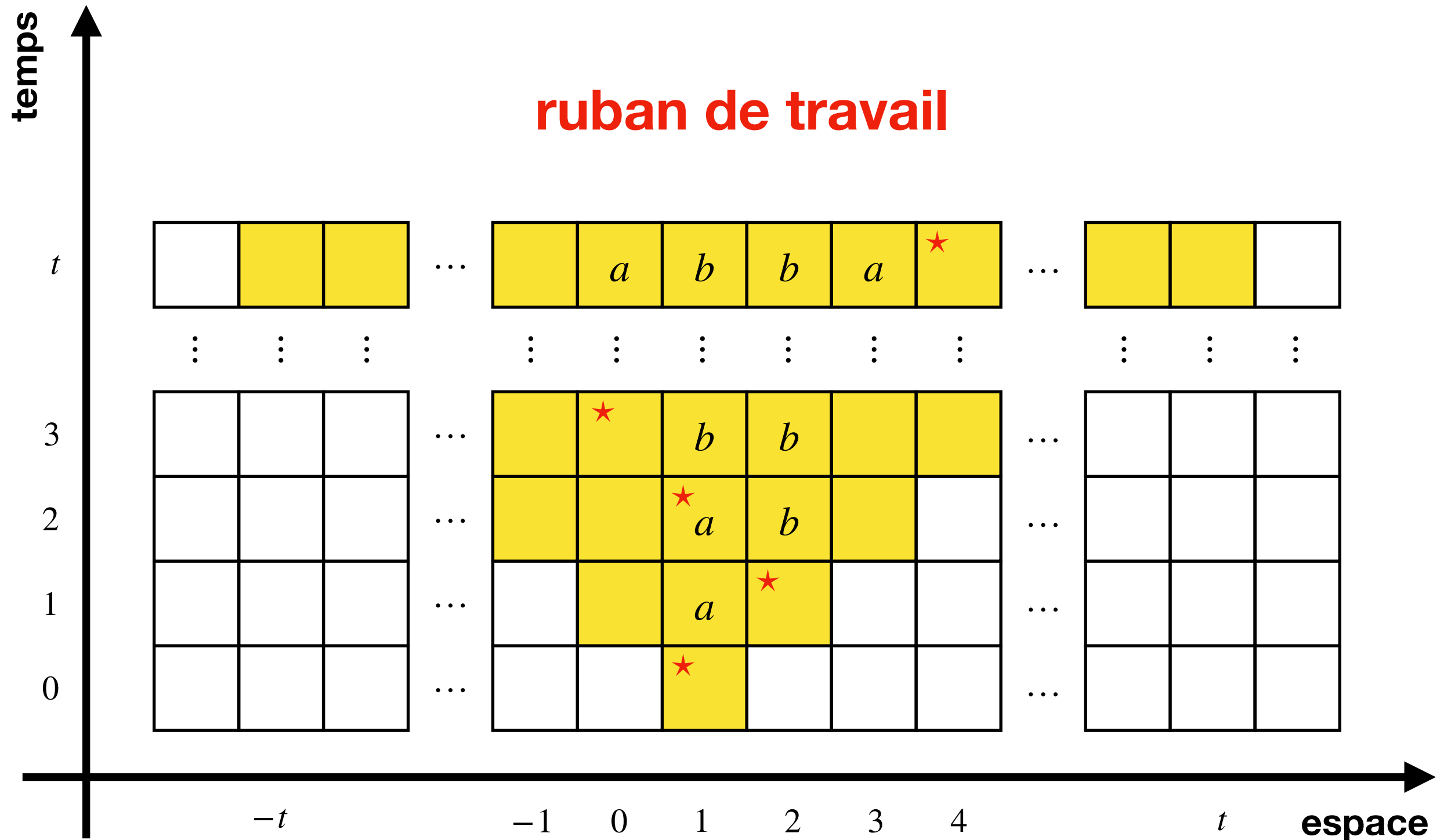
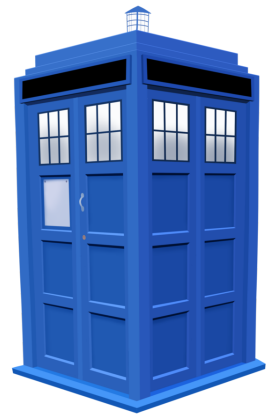


Diagramme **espace-temps** de la MT N sur l'entrée $x = x_1 \cdots x_n$

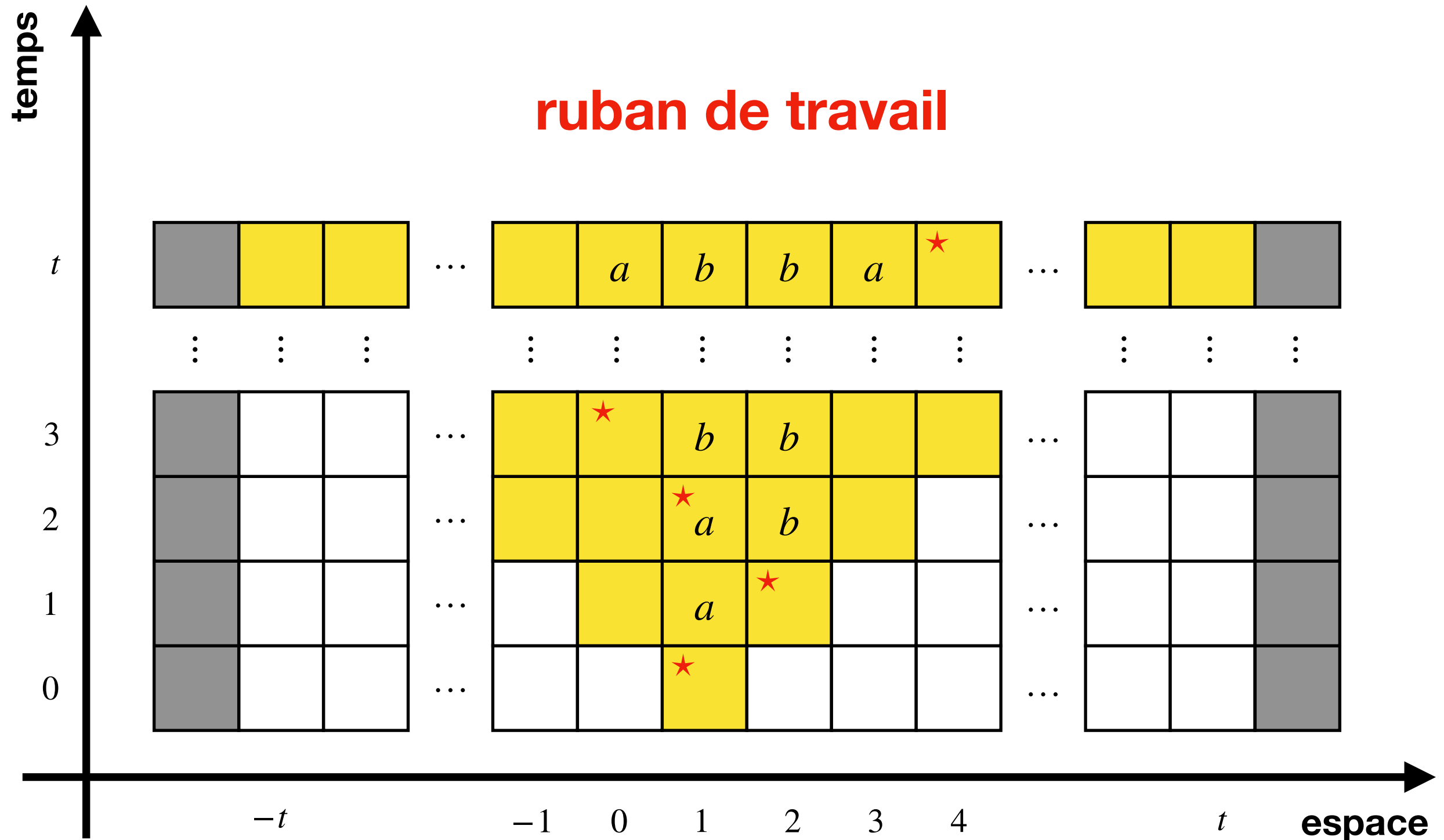
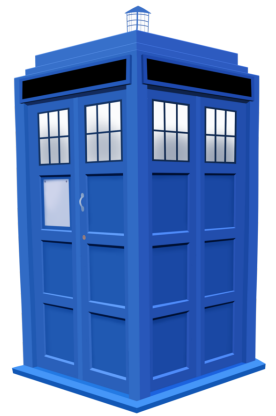


Diagramme **espace-temps** de la MT N sur l'entrée $x = x_1 \cdots x_n$

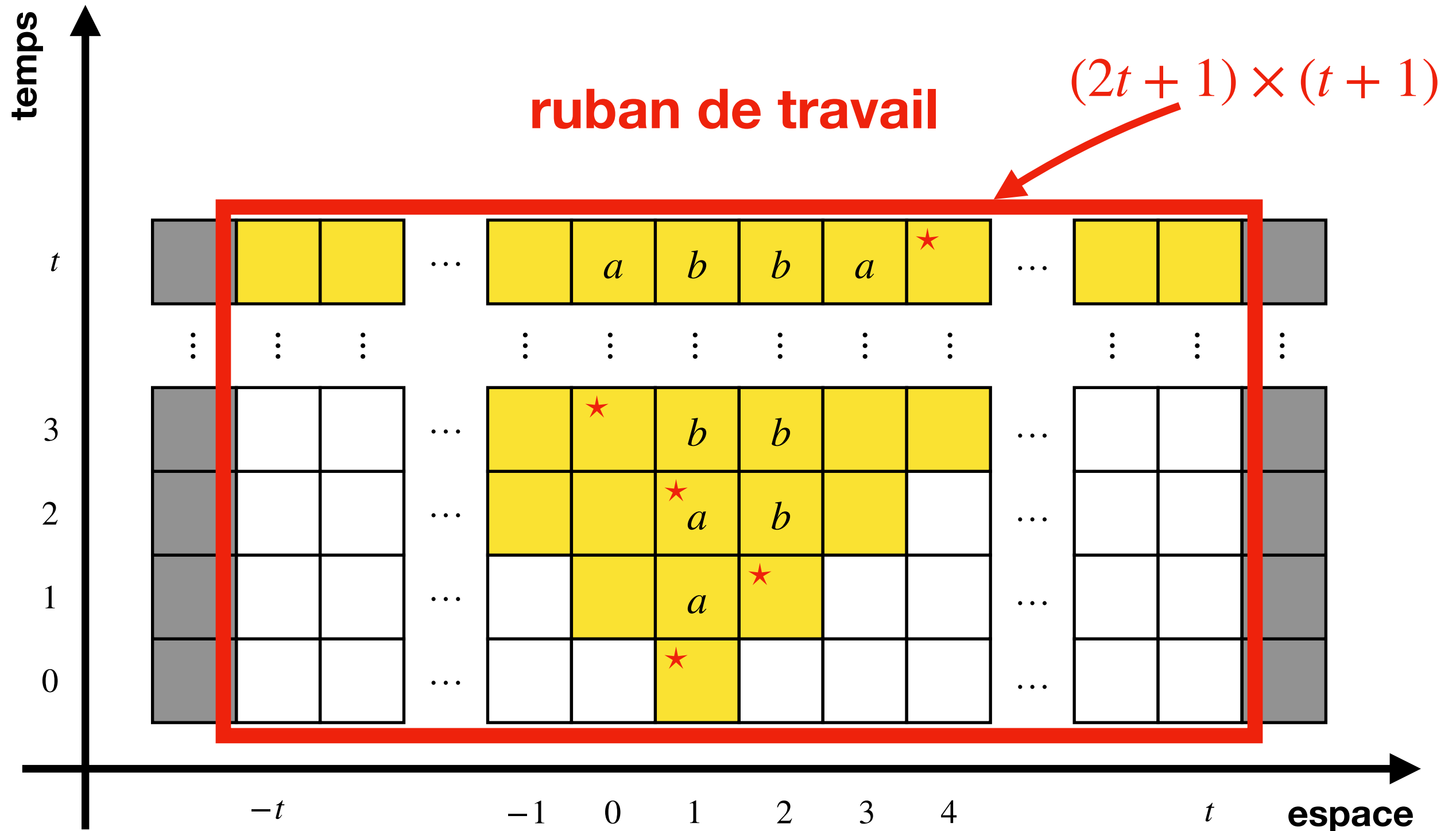
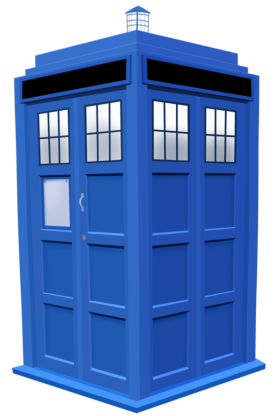
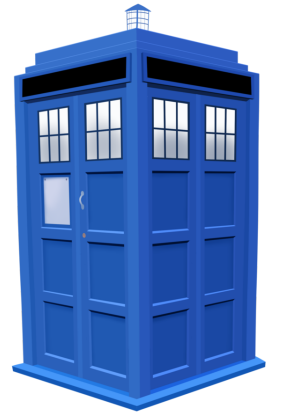


Diagramme **espace-temps** de la MT N sur l'entrée $x = x_1 \cdots x_n$



- L'ensemble des diagrammes espace-temps des rubans de N décrivent le calcul sur l'entrée x
- Si le calcul de $N(x)$ termine en moins de t étapes, on suppose que le diagramme espace-temps répète la dernière ligne
- Notre formule φ_x va affirmer que le calcul **commence dans la configuration initiale**, que **le diagramme espace-temps** de la machine est **cohérent avec la relation de transition** et qu'on **termine dans un état acceptant**

La formule φ_x a quatre parties

- **cohérence**, signifiant que deux valeurs ne sont pas assignés à la même case, deux positions à la même tête, deux états à la même étape
- **début_x**, signifiant que la configuration initiale est la bonne
- pour chaque étape j : **transition_j**, signifiant que la j -ème transition est valide
- **accepte**, signifiant qu'on arrive dans un état acceptant à un temps $\leq t$, ou $t = p(n)$

Variables de la formule φ_x

Pour chaque étape $j \in \{0, \dots, t\}$, symbole $\gamma \in \Gamma$, ruban $r \in \{1, \dots, k\}$, position $i \in \{-t, \dots, 0, \dots, t\}$, état $q \in Q$:

- $c_{\gamma,i,j}^r = 1$ ssi la i -ème case du ruban r contient le symbole γ au temps j
- $p_{i,j}^r = 1$ ssi la tête du ruban r est à la position i au temps j
- $e_{q,j} = 1$ ssi l'état de la machine est q à l'instant j

En total on a $(t + 1)(2t + 1)|\Gamma|k + (t + 1)(2t + 1)k + (t + 1)|Q|$ variables, ce qui est polynomial par rapport à x

Notation

Dans les formules logiques suivantes, les symboles

$$\bigwedge_{i=1}^n \phi_i \quad \bigvee_{i=1}^n \phi_i$$

représentent succinctement les conjonctions ou disjonctions

$$\phi_1 \wedge \phi_2 \wedge \cdots \wedge \phi_n \quad \phi_1 \vee \phi_2 \vee \cdots \vee \phi_n$$

c'est-à-dire, en réalité il faut **répliquer explicitement** les sous-formules ϕ_i pour toutes les valeurs de l'indice i

Par exemple :

$$\bigwedge_{i=1}^2 \bigvee_{j=1}^2 (x_i \wedge \neg y_j) = ((x_1 \wedge \neg y_1) \vee (x_1 \wedge \neg y_2)) \wedge ((x_2 \wedge \neg y_1) \vee (x_2 \wedge \neg y_2))$$

Sous-formule **cohérence**

$$\bigwedge_{r,i,j} \bigvee_{\gamma} \left(c_{\gamma,i,j}^r \wedge \bigwedge_{\gamma' \neq \gamma} \neg c_{\gamma',i,j}^r \right)$$

\wedge

$$\bigwedge_{r,j} \bigvee_i \left(p_{i,j}^r \wedge \bigwedge_{i' \neq i} \neg p_{i',j}^r \right)$$

\wedge

$$\bigwedge_j \bigvee_q \left(e_{q,j} \wedge \bigwedge_{q' \neq q} \neg e_{q',j} \right)$$

Sous-formule **cohérence**

$$\bigwedge_{r,i,j} \bigvee_{\gamma} \left(c_{\gamma,i,j}^r \wedge \bigwedge_{\gamma' \neq \gamma} \neg c_{\gamma',i,j}^r \right)$$

à tout moment chaque case
contient exactement un symbole



\wedge

$$\bigwedge_{r,j} \bigvee_i \left(p_{i,j}^r \wedge \bigwedge_{i' \neq i} \neg p_{i',j}^r \right)$$

\wedge

$$\bigwedge_j \bigvee_q \left(e_{q,j} \wedge \bigwedge_{q' \neq q} \neg e_{q',j} \right)$$

rappel : r est un ruban, i une position, j une étape, γ un symbole

Sous-formule **cohérence**

$$\bigwedge_{r,i,j} \bigvee_{\gamma} \left(c_{\gamma,i,j}^r \wedge \bigwedge_{\gamma' \neq \gamma} \neg c_{\gamma',i,j}^r \right)$$

à tout moment chaque case
contient exactement un symbole

\wedge

$$\bigwedge_{r,j} \bigvee_i \left(p_{i,j}^r \wedge \bigwedge_{i' \neq i} \neg p_{i',j}^r \right)$$

à tout moment chaque tête
a exactement une position

\wedge

$$\bigwedge_j \bigvee_q \left(e_{q,j} \wedge \bigwedge_{q' \neq q} \neg e_{q',j} \right)$$

rappel : r est un ruban, i une position, j une étape, γ un symbole

Sous-formule **cohérence**

$$\bigwedge_{r,i,j} \bigvee_{\gamma} \left(c_{\gamma,i,j}^r \wedge \bigwedge_{\gamma' \neq \gamma} \neg c_{\gamma',i,j}^r \right)$$

à tout moment chaque case
contient exactement un symbole

\wedge

$$\bigwedge_{r,j} \bigvee_i \left(p_{i,j}^r \wedge \bigwedge_{i' \neq i} \neg p_{i',j}^r \right)$$

à tout moment chaque tête
a exactement une position

\wedge

$$\bigwedge_j \bigvee_q \left(e_{q,j} \wedge \bigwedge_{q' \neq q} \neg e_{q',j} \right)$$

à tout moment on est
dans exactement un état

rappel : r est un ruban, i une position, j une étape, γ un symbole

Sous-formule début_x

$$e_{q_0,0}$$

\wedge

$$\bigwedge_{r>1,i} c_{B,i,0}^r$$

\wedge

$$\left(\bigwedge_{i \leq 0 \vee i > n} c_{B,i,0}^1 \right) \wedge \left(\bigwedge_{1 \leq i \leq n} c_{x_i,i,0}^1 \right)$$

\wedge

$$\bigwedge_r p_{1,0}^r$$

Sous-formule **début**_{*x*}

$e_{q_0,0}$

l'état de départ
est l'état initial q_0

\wedge

$\bigwedge_{r>1,i} c_{B,i,0}^r$

\wedge

$\left(\bigwedge_{i \leq 0 \vee i > n} c_{B,i,0}^1 \right) \wedge \left(\bigwedge_{1 \leq i \leq n} c_{x_i,i,0}^1 \right)$

\wedge

$\bigwedge_r p_{1,0}^r$

rappel : r est un ruban, i une position, j une étape, γ un symbole

Sous-formule **début**_{*x*}

$e_{q_0,0}$

l'état de départ
est l'état initial q_0

$\bigwedge_{r>1,i} c_{B,i,0}^r$

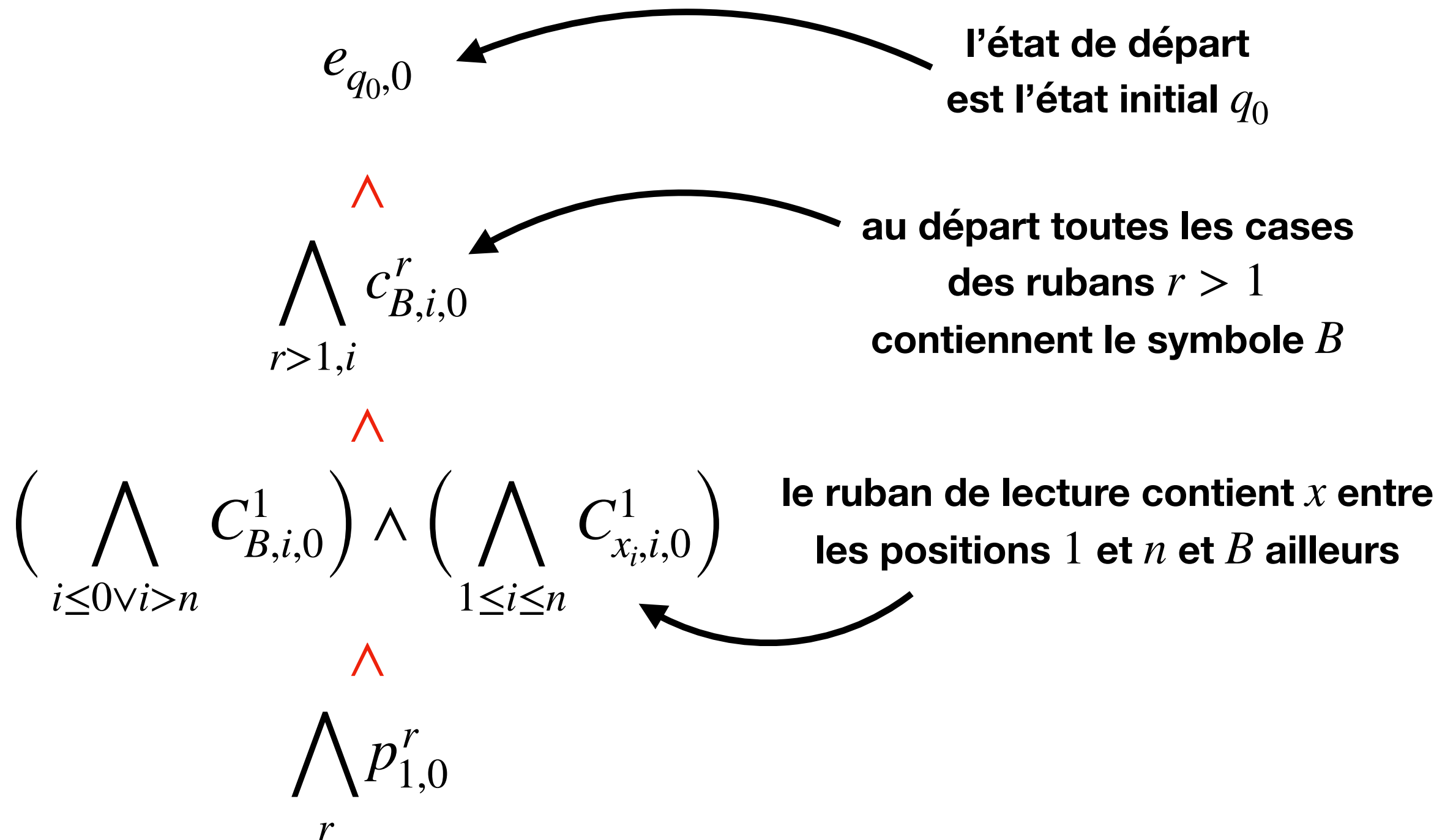
au départ toutes les cases
des rubans $r > 1$
contiennent le symbole B

$\left(\bigwedge_{i \leq 0 \vee i > n} c_{B,i,0}^1 \right) \wedge \left(\bigwedge_{1 \leq i \leq n} c_{x_i,i,0}^1 \right)$

$\bigwedge_r p_{1,0}^r$

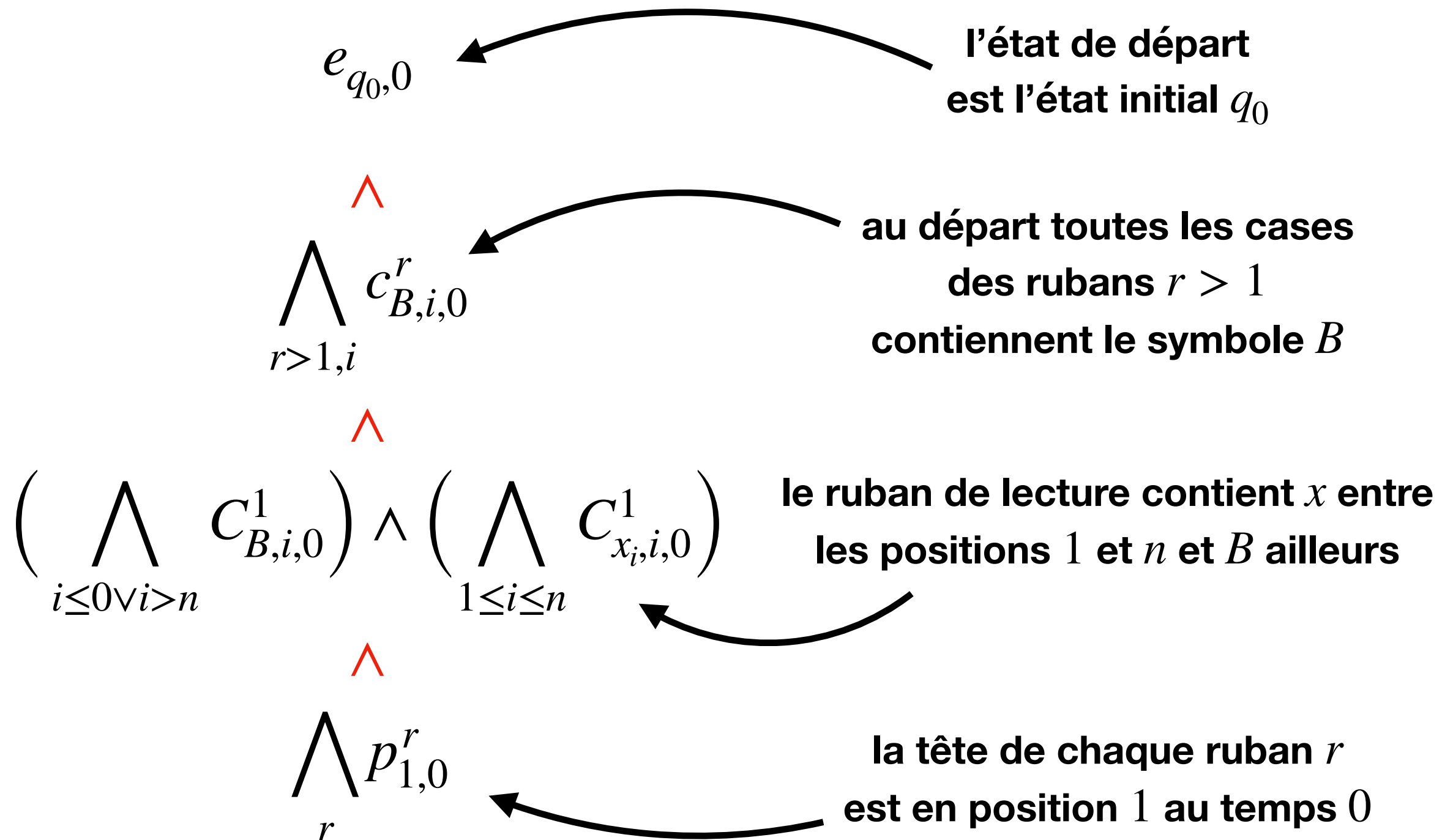
rappel : r est un ruban, i une position, j une étape, γ un symbole

Sous-formule **début**_{*x*}



rappel : *r* est un ruban, *i* une position, *j* une étape, *γ* un symbole

Sous-formule **début**_{*x*}



rappel : *r* est un ruban, *i* une position, *j* une étape, *γ* un symbole

Sous-formule **accepte**

- Pour alléger les notations qui suivent et par abus de notation on pose

$$\delta(q_a, \gamma_1, \dots, \gamma_k) = \{(q_a, \gamma_2, \dots, \gamma_k, S, \dots, S)\}$$

$$\delta(q_r, \gamma_1, \dots, \gamma_k) = \{(q_r, \gamma_2, \dots, \gamma_k, S, \dots, S)\}$$

- C'est-à-dire, **quand on accepte ou rejette**, les configurations suivantes **restent identiques**
- Du coup on a tout simplement **accepte** $= e_{q_a, t}$
(au temps t on est dans l'état acceptant q_a)

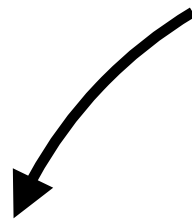
On est où ?

cohérence \wedge début_{*x*} \wedge accepte

On est où ?



deux valeurs ne sont pas assignés
à la même case, deux positions
à la même tête, deux états à la même étape



cohérence \wedge début_{*x*} \wedge accepte

On est où ?



deux valeurs ne sont pas assignés
à la même case, deux positions
à la même tête, deux états à la même étape

cohérence \wedge **début_x** \wedge **accepte**

la configuration initiale
est la bonne

On est où ?



deux valeurs ne sont pas assignés
à la même case, deux positions
à la même tête, deux états à la même étape

cohérence \wedge **début_{*x*}** \wedge **accepte**

la configuration initiale
est la bonne

on arrive dans un état
acceptant à un temps $\leq t$

**Il reste le cœur de la simulation :
spécifier que le comportement
de la machine **correspond**
à la relation de **transition****

Sous-formule **transition**_{*j*}

$$\psi_{\text{contenu}} = \bigwedge_{r,i} \left(\neg p_{i,j-1}^r \rightarrow \bigwedge_{\gamma} \left(c_{\gamma,i,j}^r \leftrightarrow c_{\gamma,i,j-1}^r \right) \right)$$

Sous-formule **transition**_{*j*}

$$\psi_{\text{contenu}} = \bigwedge_{r,i} \left(\neg p_{i,j-1}^r \rightarrow \bigwedge_{\gamma} \left(c_{\gamma,i,j}^r \leftrightarrow c_{\gamma,i,j-1}^r \right) \right)$$

si la tête n'est pas sur
la case *i* à l'étape *j* – 1...



Sous-formule **transition**_{*j*}

$$\psi_{\text{contenu}} = \bigwedge_{r,i} \left(\neg p_{i,j-1}^r \rightarrow \bigwedge_{\gamma} \left(c_{\gamma,i,j}^r \leftrightarrow c_{\gamma,i,j-1}^r \right) \right)$$

si la tête n'est pas sur
la case *i* à l'étape *j* - 1...

...alors le symbole sur cette case
ne change pas à l'étape *j*

Sous-formule **transition**_{*j*}

$$\begin{aligned} \psi_{\text{trans}} &= \bigwedge_{q, \vec{i}, \vec{\gamma}} \left((e_{q, j-1} \wedge \bigwedge_r (p_{i_r, j-1}^r \wedge c_{\gamma_r, i_r, j-1}^r)) \right. \\ &\quad \left. \rightarrow \bigvee_{(q', \vec{\gamma}', \vec{d}') \in \delta(q, \vec{\gamma})} (e_{q', j} \wedge \left(\bigwedge_r c_{\gamma'_r, i_r, j}^r \wedge p_{i_r + d'_r, j}^r \right)) \right) \end{aligned}$$

rappel : r est un ruban, i une position, j une étape, γ un symbole

$$\vec{i} = (i_1, \dots, i_k) \in \{-t, \dots, t\}^k, \vec{\gamma} = (\gamma_1, \dots, \gamma_k) \in \Gamma^k, \vec{\gamma}' \in \Gamma^{k-1}, \vec{d}' \in \{-1, 0, +1\}^k$$

Sous-formule **transition_j**

si la machine est dans l'état q
à l'étape $j - 1 \dots$



$$\begin{aligned} \psi_{\text{trans}} = \bigwedge_{q, \vec{i}, \vec{\gamma}} & \left(\left(e_{q,j-1} \wedge \bigwedge_r \left(p_{i_r,j-1}^r \wedge c_{\gamma_r,i_r,j-1}^r \right) \right) \right. \\ & \left. \rightarrow \bigvee_{(q', \vec{\gamma}', \vec{d}') \in \delta(q, \vec{\gamma})} \left(e_{q',j} \wedge \left(\bigwedge_r c_{\gamma'_r,i_r,j}^r \wedge p_{i_r+d'_r,j}^r \right) \right) \right) \end{aligned}$$

rappel : r est un ruban, i une position, j une étape, γ un symbole

$$\vec{i} = (i_1, \dots, i_k) \in \{-t, \dots, t\}^k, \vec{\gamma} = (\gamma_1, \dots, \gamma_k) \in \Gamma^k, \vec{\gamma}' \in \Gamma^{k-1}, \vec{d}' \in \{-1, 0, +1\}^k$$

Sous-formule **transition**_j

si la machine est dans l'état q
à l'étape $j - 1$...

...est que ses têtes sont sur les cases
 $\vec{i} = (i_1, \dots, i_k)$ et lisent $\vec{\gamma} = (\gamma_1, \dots, \gamma_k)$...

$$\begin{aligned} \psi_{\text{trans}} = \bigwedge_{q, \vec{i}, \vec{\gamma}} & \left((e_{q, j-1} \wedge \bigwedge_r (p_{i_r, j-1}^r \wedge c_{\gamma_r, i_r, j-1}^r)) \right. \\ & \rightarrow \left. \bigvee_{(q', \vec{\gamma}', \vec{d}') \in \delta(q, \vec{\gamma})} (e_{q', j} \wedge \left(\bigwedge_r c_{\gamma'_r, i_r, j}^r \wedge p_{i_r + d'_r, j}^r \right)) \right) \end{aligned}$$

rappel : r est un ruban, i une position, j une étape, γ un symbole

$\vec{i} = (i_1, \dots, i_k) \in \{-t, \dots, t\}^k$, $\vec{\gamma} = (\gamma_1, \dots, \gamma_k) \in \Gamma^k$, $\vec{\gamma}' \in \Gamma^{k-1}$, $\vec{d}' \in \{-1, 0, +1\}^k$

Sous-formule **transition**_j

si la machine est dans l'état q
à l'étape $j - 1$...

...est que ses têtes sont sur les cases
 $\vec{i} = (i_1, \dots, i_k)$ et lisent $\vec{\gamma} = (\gamma_1, \dots, \gamma_k)$...

$$\psi_{\text{trans}} = \bigwedge_{q, \vec{i}, \vec{\gamma}} \left(\left(e_{q, j-1} \wedge \bigwedge_r \left(p_{i_r, j-1}^r \wedge c_{\gamma_r, i_r, j-1}^r \right) \right) \right. \\ \left. \rightarrow \bigvee_{(q', \vec{\gamma}', \vec{d}') \in \delta(q, \vec{\gamma})} \left(e_{q', j} \wedge \left(\bigwedge_r c_{\gamma'_r, i_r, j}^r \wedge p_{i_r + d'_r, j}^r \right) \right) \right)$$

...alors la machine fait l'une des transitions
décrites par sa relation δ à l'étape j

rappel : r est un ruban, i une position, j une étape, γ un symbole

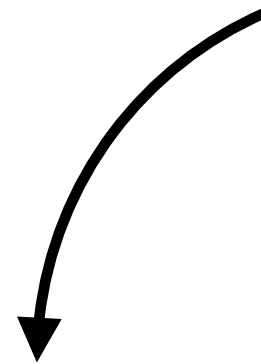
$\vec{i} = (i_1, \dots, i_k) \in \{-t, \dots, t\}^k$, $\vec{\gamma} = (\gamma_1, \dots, \gamma_k) \in \Gamma^k$, $\vec{\gamma}' \in \Gamma^{k-1}$, $\vec{d}' \in \{-1, 0, +1\}^k$

Sous-formule **transition_j**

$$\text{transition}_j = \psi_{\text{contenu}} \wedge \psi_{\text{trans}}$$

Sous-formule **transition**_{*j*}

les cases qui ne sont pas sous
une tête ne changent pas



$$\text{transition}_j = \psi_{\text{contenu}} \wedge \psi_{\text{trans}}$$

Sous-formule **transition_j**

les cases qui ne sont pas sous
une tête ne changent pas


$$\mathbf{transition}_j = \psi_{\text{contenu}} \wedge \psi_{\text{trans}}$$

celles qui le sont changent selon
la relation de transition δ

Le pire est passé !

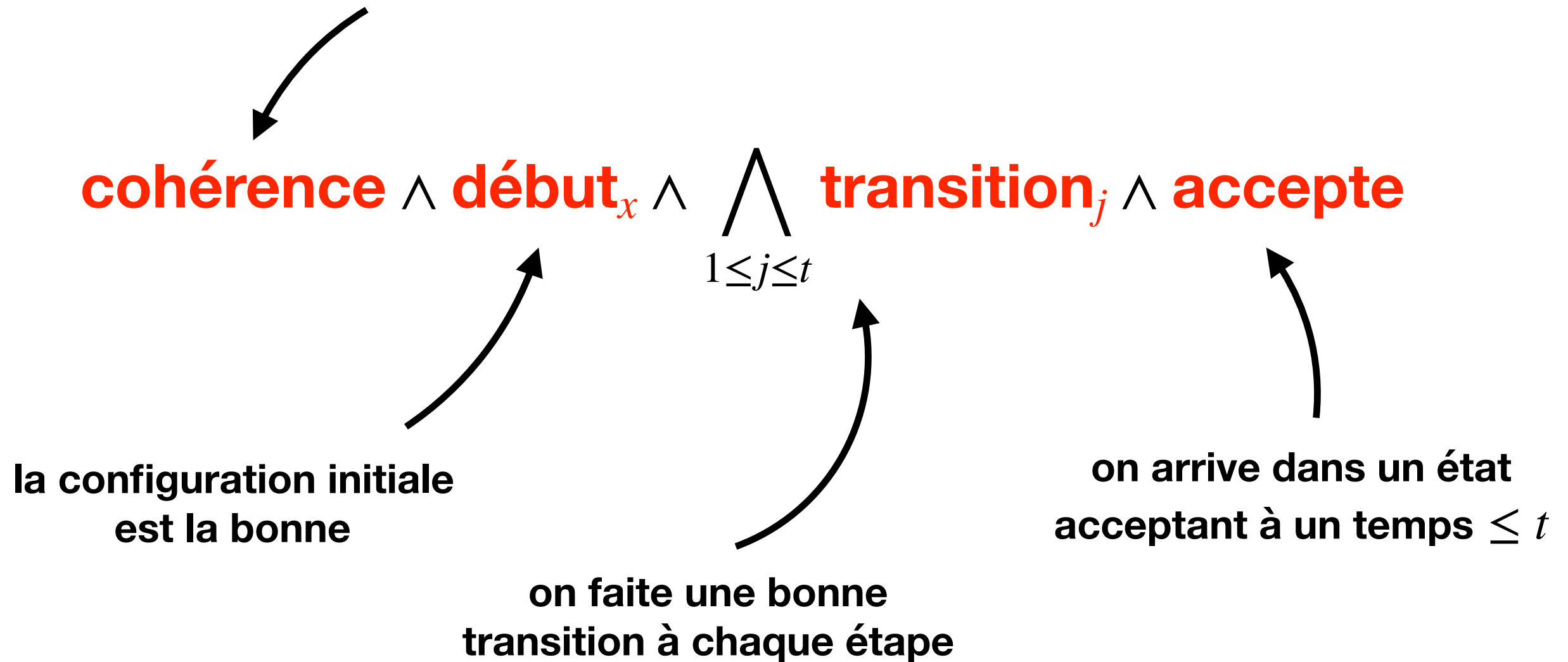


Enfin, voilà la formule φ_x

$$\text{cohérence} \wedge \text{début}_x \wedge \bigwedge_{1 \leq j \leq t} \text{transition}_j \wedge \text{accepte}$$

Enfin, voilà la formule φ_x

deux valeurs ne sont pas assignés
à la même case, deux positions
à la même tête, deux états à la même étape



The diagram illustrates the components of the formula φ_x and their semantic interpretations. At the top, a text block explains the constraints: "deux valeurs ne sont pas assignés à la même case, deux positions à la même tête, deux états à la même étape". An arrow points from this text to the formula. The formula is $\text{cohérence} \wedge \text{début}_x \wedge \bigwedge_{1 \leq j \leq t} \text{transition}_j \wedge \text{accepte}$. Below the formula, three text blocks provide interpretations: "la configuration initiale est la bonne" (pointing to cohérence), "on fait une bonne transition à chaque étape" (pointing to $\bigwedge_{1 \leq j \leq t} \text{transition}_j$), and "on arrive dans un état acceptant à un temps $\leq t$ " (pointing to accepte).

$$\text{cohérence} \wedge \text{début}_x \wedge \bigwedge_{1 \leq j \leq t} \text{transition}_j \wedge \text{accepte}$$

la configuration initiale
est la bonne

on fait une bonne
transition à chaque étape

on arrive dans un état
acceptant à un temps $\leq t$

Enfin, voilà la formule φ_x

$$\bigwedge_{r,i,j} \bigvee_{\gamma} \left(c_{\gamma,i,j}^r \wedge \bigwedge_{\gamma' \neq \gamma} \neg c_{\gamma',i,j}^r \right) \wedge \bigwedge_{r,j} \bigvee_i \left(p_{i,j}^r \wedge \bigwedge_{i' \neq i} \neg p_{i',j}^r \right) \wedge \bigwedge_j \bigvee_q \left(e_{q,j} \wedge \bigwedge_{q' \neq q} \neg e_{q',j} \right)$$

$$\wedge$$

$$e_{q_0,0} \wedge \bigwedge_{r>1,i} c_{B,i,0}^r \wedge \left(\bigwedge_{i \leq 0 \vee i > n} C_{B,i,0}^1 \right) \wedge \left(\bigwedge_{1 \leq i \leq n} C_{x_i,i,0}^1 \right) \wedge \bigwedge_r p_{1,0}^r$$

$$\wedge$$

$$= \bigwedge_{q,\vec{i},\vec{\gamma}} \left(\left(e_{q,j-1} \wedge \bigwedge_r \left(p_{i_r,j-1}^r \wedge c_{\gamma_r,i_r,j-1}^r \right) \right) \rightarrow \bigvee_{(q',\vec{\gamma}',\vec{d}') \in \delta(q,\vec{\gamma})} \left(e_{q',j} \wedge \left(\bigwedge_r c_{\gamma'_r,i_r,j}^r \wedge p_{i_r+d'_r,j}^r \right) \right) \right)$$

$$\wedge$$

$$e_{q_a,t}$$

Enfin, voilà la formule φ_x

$$\bigwedge_{r,i,j} \bigvee_{\gamma} \left(c_{\gamma,i,j}^r \wedge \bigwedge_{\gamma' \neq \gamma} \neg c_{\gamma',i,j}^r \right) \wedge \bigwedge_{r,j} \bigvee_i \left(p_{i,j}^r \wedge \bigwedge_{i' \neq i} \neg p_{i',j}^r \right) \wedge \bigwedge_j \bigvee_q \left(e_{q,j} \wedge \bigwedge_{q' \neq q} \neg e_{q',j} \right)$$

\wedge

$$e_{q_0,0} \wedge \bigwedge_{r>1,i} c_{B,i,0}^r \wedge \left(\bigwedge_{i \leq 0 \vee i > n} C_{B,i,0}^1 \right) \wedge \left(\bigwedge_{1 \leq i \leq n} C_{x_i,i,0}^1 \right) \wedge \bigwedge_r p_{1,0}^r$$

\wedge

$$= \bigwedge_{q,\vec{i},\vec{\gamma}} \left(\left(e_{q,j-1} \wedge \bigwedge_r \left(p_{i_r,j-1}^r \wedge c_{\gamma_r,i_r,j-1}^r \right) \right) \rightarrow \bigvee_{(q',\vec{\gamma}',\vec{d}') \in \delta(q,\vec{\gamma})} \left(e_{q',j} \wedge \left(\bigwedge_r c_{\gamma'_r,i_r,j}^r \wedge p_{i_r+d'_r,j}^r \right) \right) \right)$$

\wedge

$e_{q_a,t}$

**$|\varphi_x| = \text{polynomial}$
par rapport à n**

φ_x est satisfaisable
ssi N accepte x !

Sous-formule **cohérence**

$$\bigwedge_{r,i,j} \bigvee_{\gamma} \left(c_{\gamma,i,j}^r \wedge \bigwedge_{\gamma' \neq \gamma} \neg c_{\gamma',i,j}^r \right)$$

à tout moment chaque case
contient exactement un symbole

\wedge

$$\bigwedge_{r,j} \bigvee_i \left(p_{i,j}^r \wedge \bigwedge_{i' \neq i} \neg p_{i',j}^r \right)$$

à tout moment chaque tête
a exactement une position

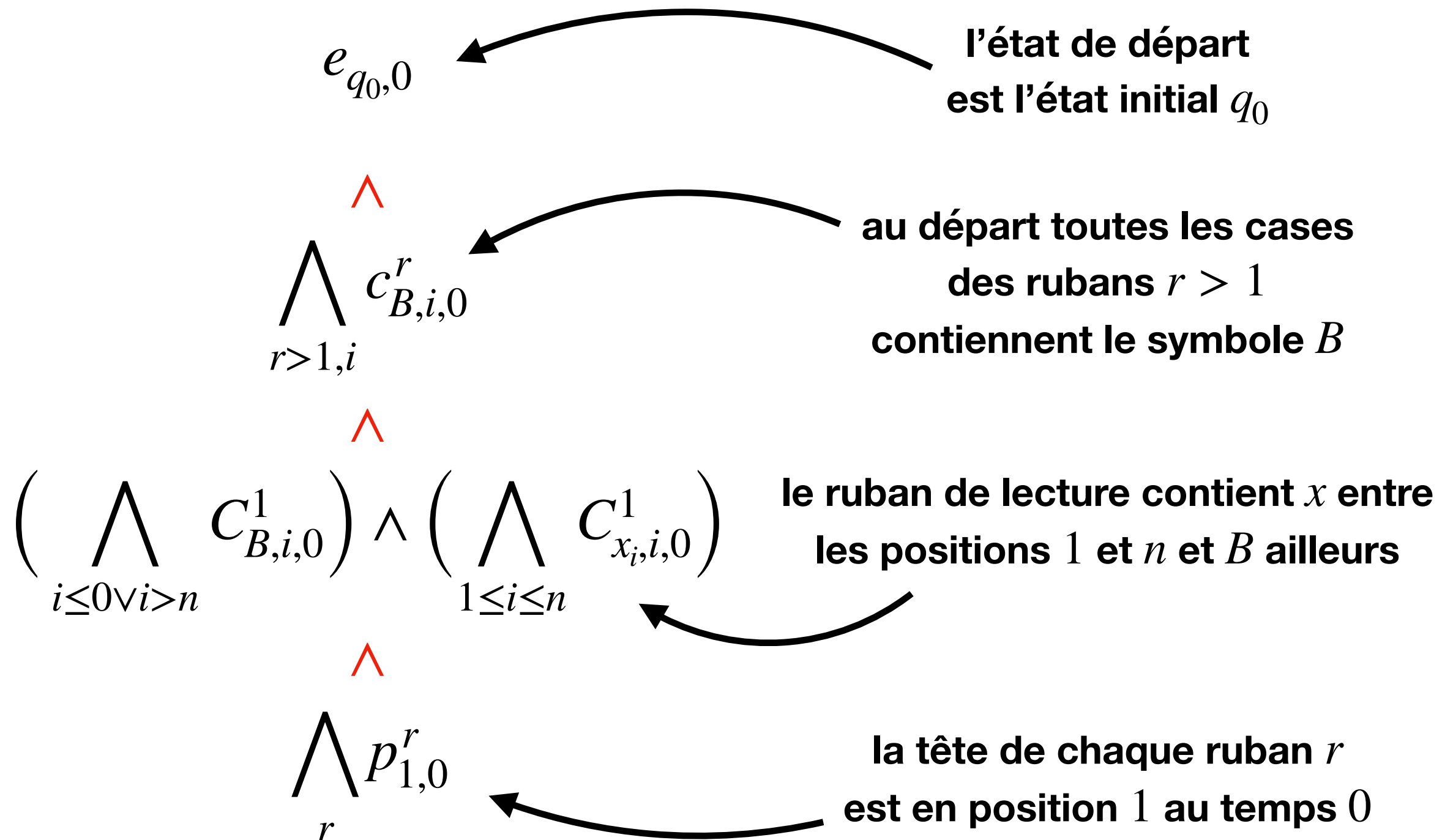
\wedge

$$\bigwedge_j \bigvee_q \left(e_{q,j} \wedge \bigwedge_{q' \neq q} \neg e_{q',j} \right)$$

à tout moment on est
dans exactement un état

rappel : r est un ruban, i une position, j une étape, γ un symbole

Sous-formule **début**_{*x*}



rappel : r est un ruban, i une position, j une étape, γ un symbole

Sous-formule **accepte**

- Pour alléger les notations qui suivent et par abus de notation on pose

$$\delta(q_a, \gamma_1, \dots, \gamma_k) = \{(q_a, \gamma_2, \dots, \gamma_k, S, \dots, S)\}$$

$$\delta(q_r, \gamma_1, \dots, \gamma_k) = \{(q_r, \gamma_2, \dots, \gamma_k, S, \dots, S)\}$$

- C'est-à-dire, **quand on accepte ou rejette**, les configurations suivantes **restent identiques**
- Du coup on a tout simplement **accepte** = $e_{q_a, t}$
(au temps t on est dans l'état acceptant q_a)

Sous-formule **transition**_{*j*}

$$\psi_{\text{contenu}} = \bigwedge_{r,i} \left(\neg p_{i,j-1}^r \rightarrow \bigwedge_{\gamma} \left(c_{\gamma,i,j}^r \leftrightarrow c_{\gamma,i,j-1}^r \right) \right)$$

si la tête n'est pas sur
la case *i* à l'étape *j* - 1...

...alors le symbole sur cette case
ne change pas à l'étape *j*

Sous-formule **transition_j**

si la machine est dans l'état q
à l'étape $j - 1$...

...est que ses têtes sont sur les cases
 $\vec{i} = (i_1, \dots, i_k)$ et lisent $\vec{\gamma} = (\gamma_1, \dots, \gamma_k)$...

$$\psi_{\text{trans}} = \bigwedge_{q, \vec{i}, \vec{\gamma}} \left((e_{q, j-1} \wedge \bigwedge_r (p_{i_r, j-1}^r \wedge c_{\gamma_r, i_r, j-1}^r)) \right. \\ \left. \rightarrow \bigvee_{(q', \vec{\gamma}', \vec{d}') \in \delta(q, \vec{\gamma})} \left(e_{q', j} \wedge \left(\bigwedge_r c_{\gamma'_r, i_r, j}^r \wedge p_{i_r + d'_r, j}^r \right) \right) \right)$$

...alors la machine fait l'une des transitions
décrites par sa relation δ à l'étape j

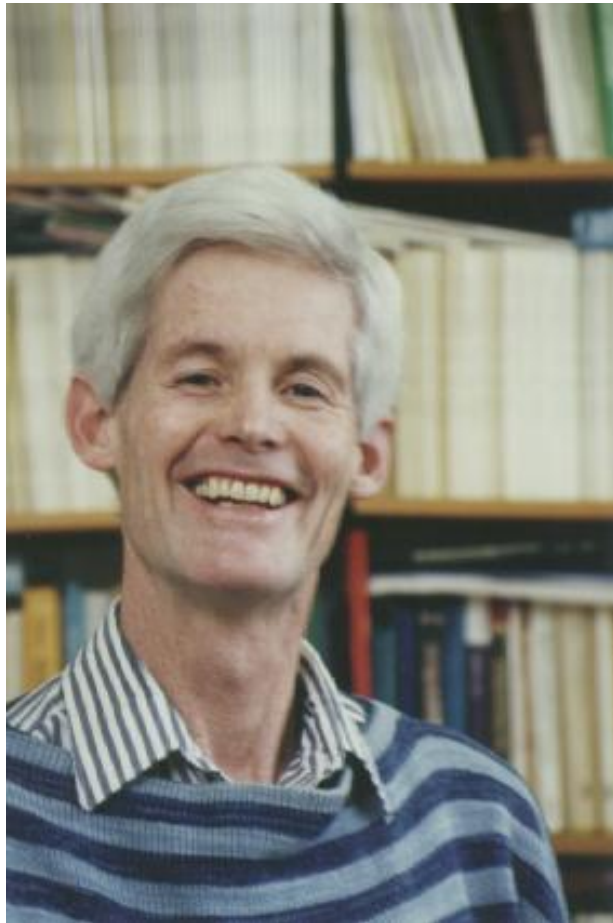
rappel : r est un ruban, i une position, j une étape, γ un symbole

$\vec{i} = (i_1, \dots, i_k) \in \{-t, \dots, t\}^k$, $\vec{\gamma} = (\gamma_1, \dots, \gamma_k) \in \Gamma^k$, $\vec{\gamma}' \in \Gamma^{k-1}$, $\vec{d}' \in \{-1, 0, +1\}^k$

Conclusion de la démonstration

- On a pris $B \in \mathbf{NP}$ et une machine non déterministe N qui le reconnaît en temps polynomial $p(n)$
- Pour chaque entrée x de B on construit une formule φ_x de taille polynomiale qui décrit le calcul de $N(x)$
- Cette construction on peut la faire en temps polynomial, parce que la formule φ_x ne sera peut-être pas jolie, mais elle est régulière
- En plus on a $x \in B$ ssi $\varphi_x \in \text{SAT}$
- Donc $B \leq \text{SAT}$, et comme B était un langage quelconque dans \mathbf{NP} , on obtient la \mathbf{NP} -complétude de SAT





Stephen Cook



Леонід Лєвин



SAT est NP-complete